

HYDROGRAFISKE UNDERSØKELSER
I VARANGERFJORDEN OG VED FINNMARKSKYSTEN

II

Appendiks

Av

Odd Magnar Nakken

Hovedoppgave i fysisk oseanografi

Vårsemesteret 1966

Geofysisk Institutt, Universitetet i Bergen

I N N H O L D

Tegningen av figurene.	s.	3
Liste over figurer.	"	4
Figurer.	"	8

TEGNINGEN AV FIGURENE.

Snittene inne i Varangerfjorden er tegnet slik at en har nordsiden av fjorden til venstre i figurene. Eneste unntak fra denne regel er snittet fra Bøkfjord til Kiberg i fig. 13. Snittene utenfor Varangerfjorden har land på venstre side i figurene.

I alle snittene, unntatt snittet fra Vadsø til Svinøy, er forholdet mellom den vertikale- og horisontale målestokken det samme. I snittet fra Vadsø til Svinøy er den horisontale målestokken dobbelt så stor som i de andre snittene.

En del av tegnearbeidet er utført av teknisk assistent Svein Lygren.

LISTE OVER FIGURER.

Figur nr.

1. Kart over området.
2. Hydrografiske stasjoner 1922 og 1923.
3. Hydrografisk snitt fra Ekkerøy til Bøkfjord, $t^{\circ}C$, $S\text{‰}$, σ_t . 1922.
4. Hydrografisk snitt på langs av Varangerfjorden, $t^{\circ}C$, $S\text{‰}$, σ_t , 1923.
5. Hydrografisk snitt fra Kiberg mot Niemetsky, $t^{\circ}C$, $S\text{‰}$, σ_t . 1923.
6. Hydrografiske stasjoner 1925.
7. Hydrografiske snitt fra Vardø til Østbanken og fra Niemetsky til Østbanken, $t^{\circ}C$, $S\text{‰}$, σ_t . 1925.
8. Hydrografiske snitt fra Vardø til Niemetsky, $t^{\circ}C$, $S\text{‰}$, σ_t . 1925.
9. Hydrografiske snitt fra Ekkerøy til Bøkfjord, $t^{\circ}C$, $S\text{‰}$, σ_t . 1925.
10. Hydrografiske stasjoner 1927.
11. Hydrografiske snitt fra Kiberg til Niemetsky, $t^{\circ}C$, $S\text{‰}$, σ_t . 1927.
12. Hydrografiske snitt fra Kiberg til Niemetsky og fra Vardø til Niemetsky, $t^{\circ}C$, $S\text{‰}$, σ_t . 1927.
13. Hydrografiske snitt fra Ekkerøy til Niemetsky og fra Bøkfjord til Kiberg, $t^{\circ}C$, $S\text{‰}$, σ_t . 1927.
14. Hydrografisk snitt fra Vadsø til Bøkfjord, $t^{\circ}C$, $S\text{‰}$, σ_t . 1927.
15. Hydrografiske snitt fra Vardø til Østbanken, $t^{\circ}C$, $S\text{‰}$, σ_t , 1927.
16. Hydrografiske snitt fra Niemetsky til Østbanken, $t^{\circ}C$, $S\text{‰}$, σ_t . 1927.
17. Hydrografiske stasjoner 1928.
18. Hydrografiske snitt fra Kiberg til Bøkfjord, $t^{\circ}C$, $S\text{‰}$, σ_t . 1928.
19. Hydrografisk snitt fra Kiberg til Niemetsky, $t^{\circ}C$, $S\text{‰}$, σ_t . 1928.
20. Hydrografisk snitt fra Niemetsky mot nordøst, $t^{\circ}C$, $S\text{‰}$, σ_t . 1928.
21. Hydrografisk snitt fra Vardø til Østbanken, $t^{\circ}C$, $S\text{‰}$, σ_t . 1928.

Figur nr.

22. Hydrografiske stasjoner, fordelingen av saltholdighet i overflaten 1929.
23. Temperaturfordelingen i 100 m 1929.
24. Hydrografiske snitt fra Kiberg til Niemetsky og fra Kiberg til Bøkfjord, $t^{\circ}\text{C}$, $S\text{‰}$, σ_t , 1929.
25. Hydrografisk snitt fra Ekkerøy til Bøkfjord, $t^{\circ}\text{C}$, $S\text{‰}$, σ_t , 1929.
26. Hydrografiske snitt fra Vardø til Østbanken og fra Niemetsky til Østbanken, $t^{\circ}\text{C}$, $S\text{‰}$, σ_t , 1929.
27. Hydrografiske stasjoner, fordelingen av saltholdighet i overflaten 1930.
28. Temperaturfordelingen i 100 m 1930.
29. Hydrografisk snitt fra Kiberg til Niemetsky, $t^{\circ}\text{C}$, $S\text{‰}$, σ_t , 1930.
30. Hydrografiske snitt fra Vardø til Østbanken og fra Niemetsky til Østbanken, $t^{\circ}\text{C}$, $S\text{‰}$, σ_t , 1930.
31. Hydrografiske stasjoner 1932.
32. Stasjonskurver for temperatur og saltholdighet 1932.
33. Hydrografisk snitt fra Kiberg mot Niemetsky, $t^{\circ}\text{C}$, $S\text{‰}$, σ_t , 1932.
34. Hydrografisk snitt langs Fiskerhalvøya, $t^{\circ}\text{C}$, $S\text{‰}$, σ_t , 1932.
35. Hydrografiske snitt fra Vardø mot Østbanken, $t^{\circ}\text{C}$, $S\text{‰}$, σ_t , 1932.
36. Hydrografiske stasjoner 1933.
37. Hydrografiske snitt fra Kiberg til Niemetsky og fra Vadsø til Bøkfjord, $t^{\circ}\text{C}$, $S\text{‰}$, σ_t , 1933.
38. Hydrografisk snitt fra Kiberg til Bøkfjord, $t^{\circ}\text{C}$, $S\text{‰}$, σ_t , 1933.
39. Hydrografiske snitt fra Vardø til Østbanken og fra Niemetsky til Østbanken, $t^{\circ}\text{C}$, $S\text{‰}$, σ_t , 1933.
40. Hydrografiske stasjoner, fordelingen av saltholdighet i overflaten 1934.
41. Temperaturfordelingen i 100 m 1934.
42. Hydrografisk snitt fra Vadsø til Svinøy, $t^{\circ}\text{C}$, $S\text{‰}$, σ_t , 1934.
43. Hydrografisk snitt fra Ekkerøy til Bøkfjord, $t^{\circ}\text{C}$, $S\text{‰}$, σ_t , 1934.

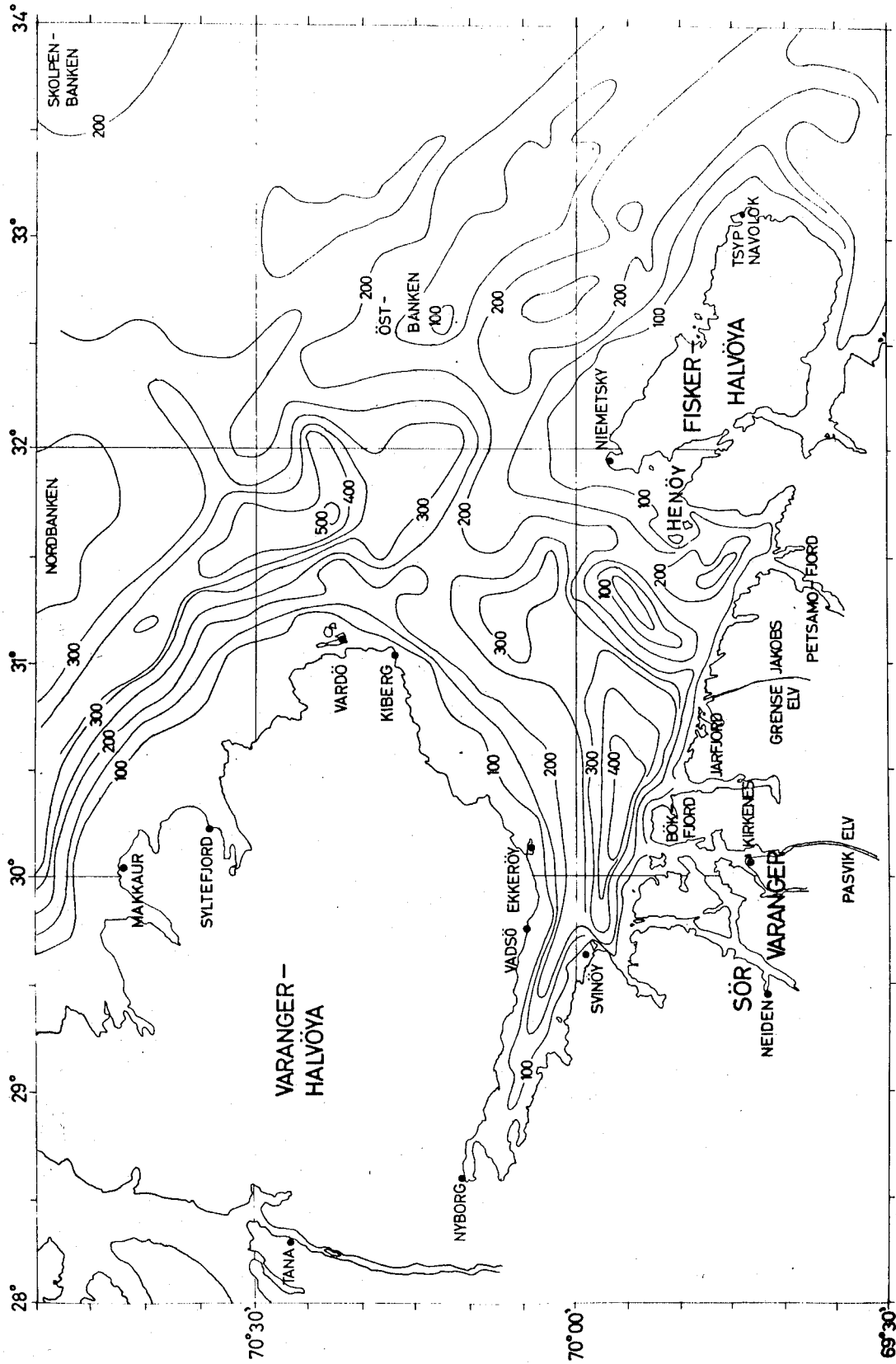
Figur nr.

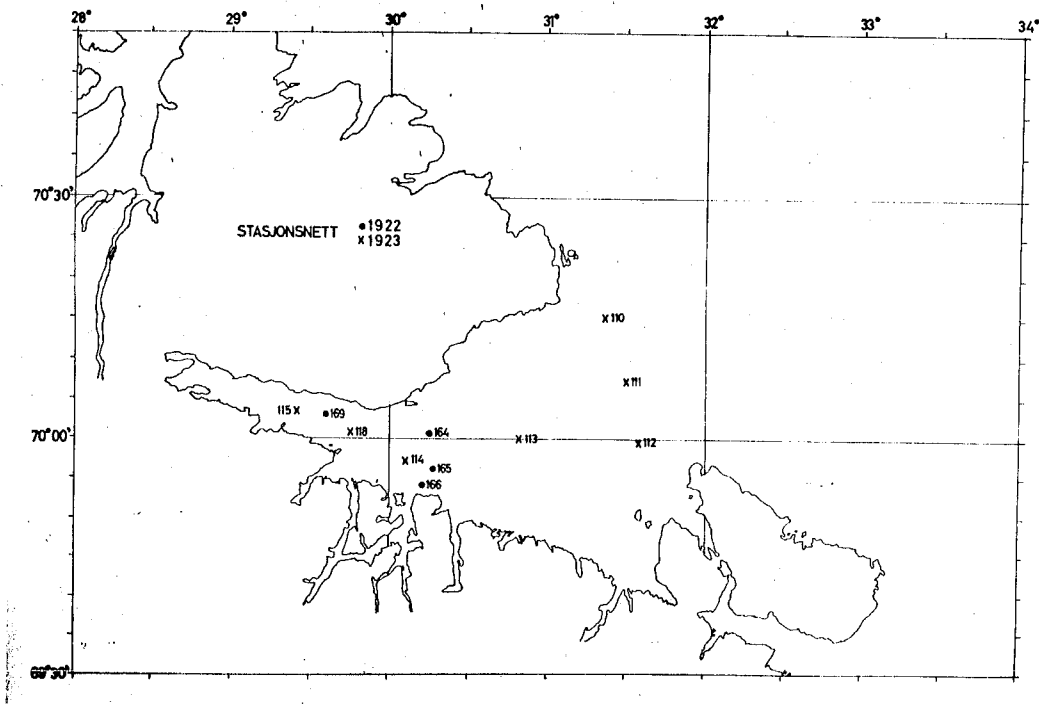
44. Hydrografisk snitt fra Ekkerøy til Niemetsky, $t^{\circ}C$, $S\%$, σ_t , 1934.
45. Hydrografiske snitt fra Kiberg til Niemetsky, $t^{\circ}C$, $S\%$, σ_t , 1934.
46. Hydrografiske snitt fra Vardø til Østbanken og fra Niemetsky til Østbanken, $t^{\circ}C$, $S\%$, σ_t , 1934.
47. Hydrografiske stasjoner 1936 og 1937. Fordelingen av saltholdighet i overflaten 1937.
48. Hydrografisk snitt fra Kiberg til Niemetsky, $t^{\circ}C$, $S\%$, σ_t , 1936.
49. Hydrografisk snitt fra Fiskernalvøya mot Skolpenbanken, $t^{\circ}C$, $S\%$, 1936.
50. Hydrografisk snitt fra Skolpenbanken mot Syltefjord, $t^{\circ}C$, $S\%$, 1936.
51. Hydrografisk snitt fra Vadsø til Svinøy, $t^{\circ}C$, $S\%$, σ_t , 1937.
52. Hydrografisk snitt fra Kiberg til Jarfjord, $t^{\circ}C$, $S\%$, σ_t , 1937.
53. Hydrografiske snitt fra Vardø til Niemetsky, $t^{\circ}C$, $S\%$, σ_t , 1937.
54. Hydrografiske snitt fra Tsyp Navolok mot nord, $t^{\circ}C$, $S\%$, σ_t , 1937.
55. Hydrografiske snitt fra Vardø og østover, $t^{\circ}C$, $S\%$, σ_t , 1937.
56. Hydrografiske stasjoner 1938.
57. Hydrografisk snitt på langs av Varangerfjorden, $t^{\circ}C$, $S\%$, 1938.
58. Temperatursnitt fra Kiberg mot Jarfjord og stasjonskurver for $t^{\circ}C$, $S\%$, σ_t ved Vadsø og Svinøy 1938.
59. Hydrografiske snitt fra Vardø mot Skolpenbanken og nordover langs $33^{\circ}36'EL$, $t^{\circ}C$, $S\%$, 1938.
60. Hydrografiske stasjoner, fordelingen av saltholdighet i overflaten 1939.
61. Temperaturfordelingen i 100 m 1939.
62. Hydrografiske snitt fra Ekkerøy til Bøkfjord og fra Vadsø til Svinøy, $t^{\circ}C$, $S\%$, σ_t , 1939.
63. Hydrografisk snitt fra Kiberg til Krodsnes (mellom Jarfjord og Bøkfjord), $t^{\circ}C$, $S\%$, σ_t , 1939.

Figur nr.

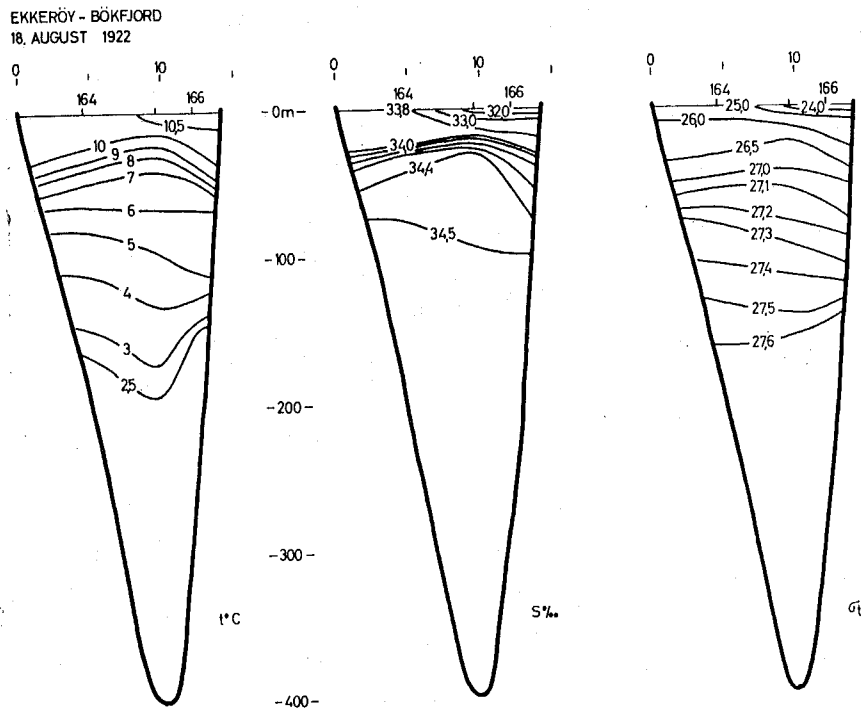
64. Hydrografisk snitt fra Kiberg til Niemetsky, $t^{\circ}C$, $S\%$, σ_t , 1939.
65. Hydrografisk snitt fra Niemetsky mot nordøst, $t^{\circ}C$, $S\%$, σ_t , 1939.
66. Kart som viser stasjonene hvor laveste temperatur er observert de enkelte år.
67. t - S kurver fra noen stasjoner i Varangerfjorden i 1929 og 1934.
68. Hydrografiske snitt fra Vardø til Østbanken og fra Kiberg til Niemetsky. Snittene er ternet på grunnlag av middelveidene i tabell 10.
69. Laveste observerte temperatur, tilhørende saltholdighet og σ_t , de enkelte år (tab. 9), sammenliknet med vintertemperaturen i Vardø (tab. 8).
70. Isopletdiagrammer som viser årsvariasjonen av temperatur og saltholdighet ved Ingøy.
71. Årsvariasjonen av temperatur i forskjellige dyp ved Ingøy.
72. Årsvariasjonen av saltholdighet i forskjellige dyp ved Ingøy.
73. Tidspunktet da temperaturen har sitt maksimum i de forskjellige dyp ved Ingøy.
74. Vertikal temperatur- og saltholdighetsfordeling i mai og juni ved Ingøy (tab. 13).
75. Isopletdiagrammer som viser variasjonen av temperatur og saltholdighet fra april 1936 til november 1939 ved Ingøy (tab. 12).
76. Glidende årsmidler for temperatur (tab. 14) og saltholdighet (tab. 15), sammenliknet med årsmidlene av vindhastighet fra sør og sørvest (tab. 16) ved Ingøy.
77. Glidende årsmidler for temperatur i 2 m og 10 m ved Ingøy (tab. 14), sammenliknet med tilsvarende verdier i 4 m ved Vardø og i Varangerfjorden.

Figur 1.
Kart over om-
rådet.
Isobater for
hver 50 m.

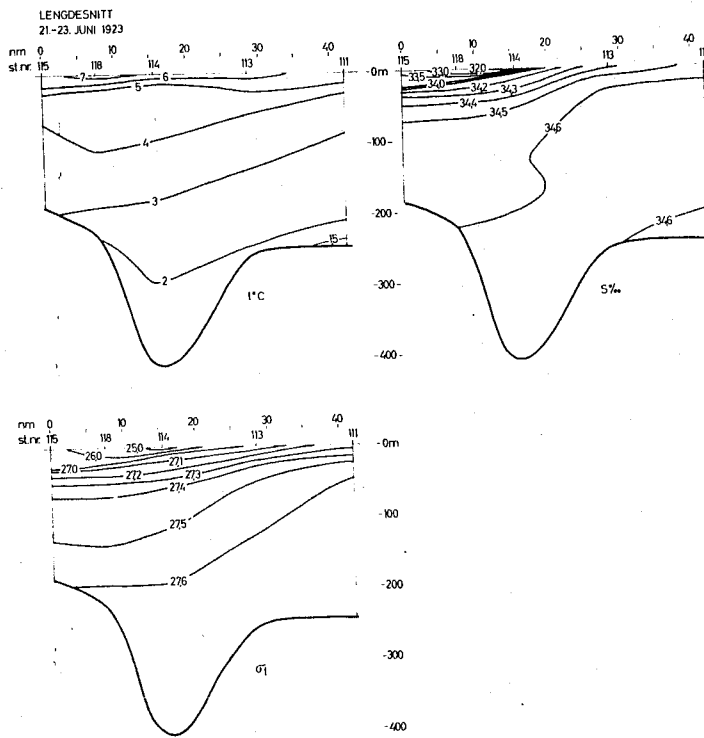




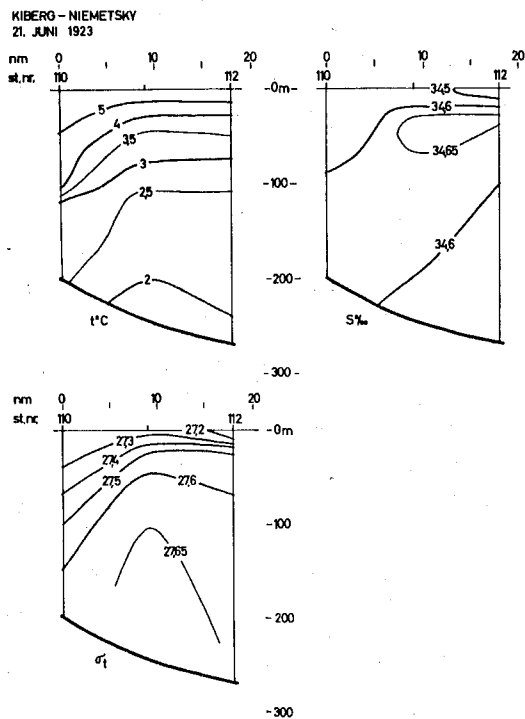
Figur 2. Hydrografiske stasjoner 1922 og 1923.



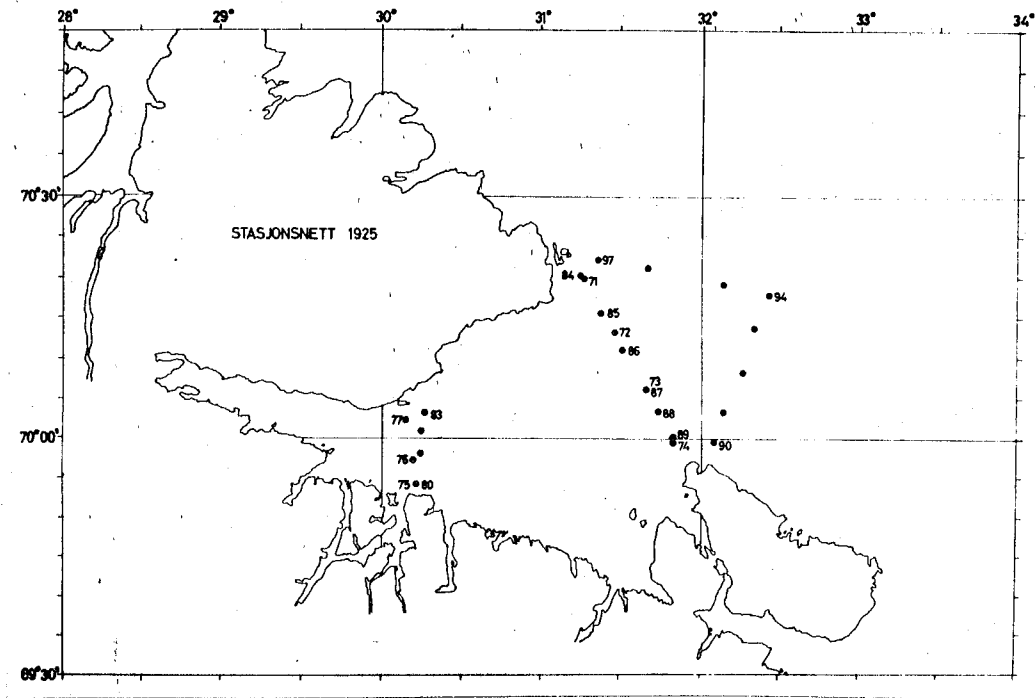
Figur 3. Hydrografisk snitt fra Ekkerøy til Bøkfjord, $t^{\circ}\text{C}$, $S^{\text{‰}}$, σ_t , 1922.



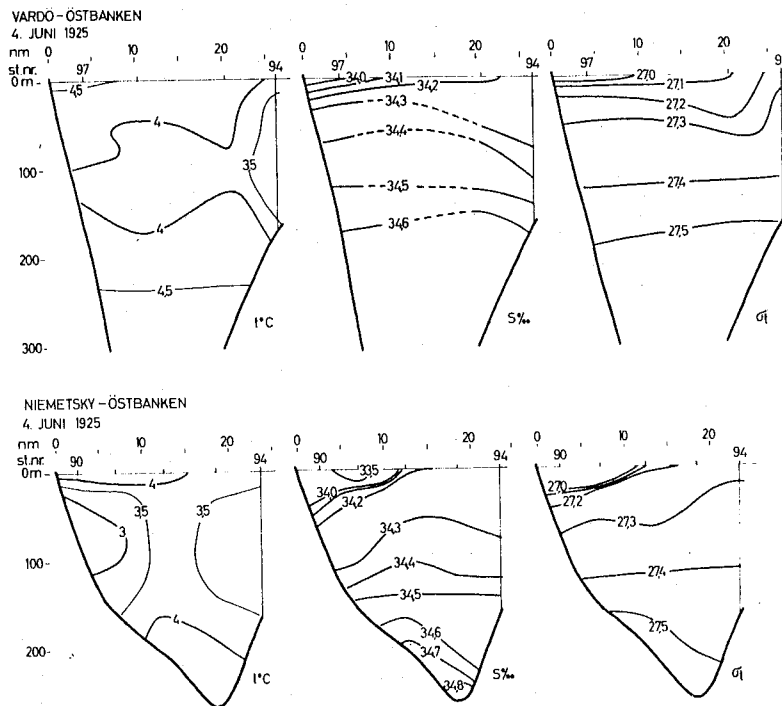
Figur 4. Hydrografisk snitt på langs av Varangerfjorden, $t^{\circ}\text{C}$, $S\text{‰}$, σ_t , 1923.



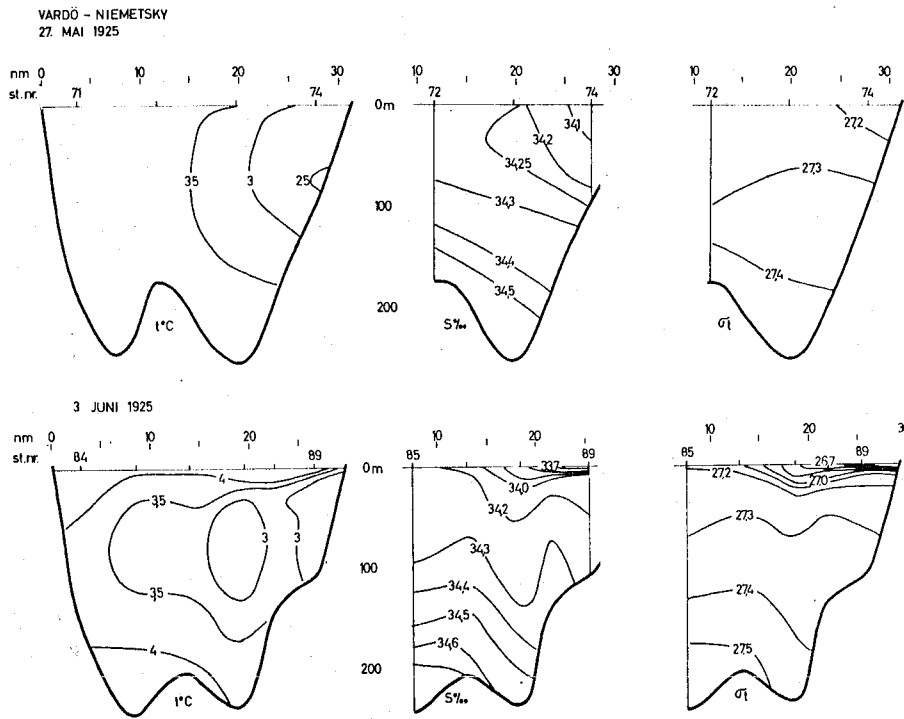
Figur 5. Hydrografisk snitt fra Kiberg mot Niemetsky, $t^{\circ}\text{C}$, $S\text{‰}$, σ_t , 1923.



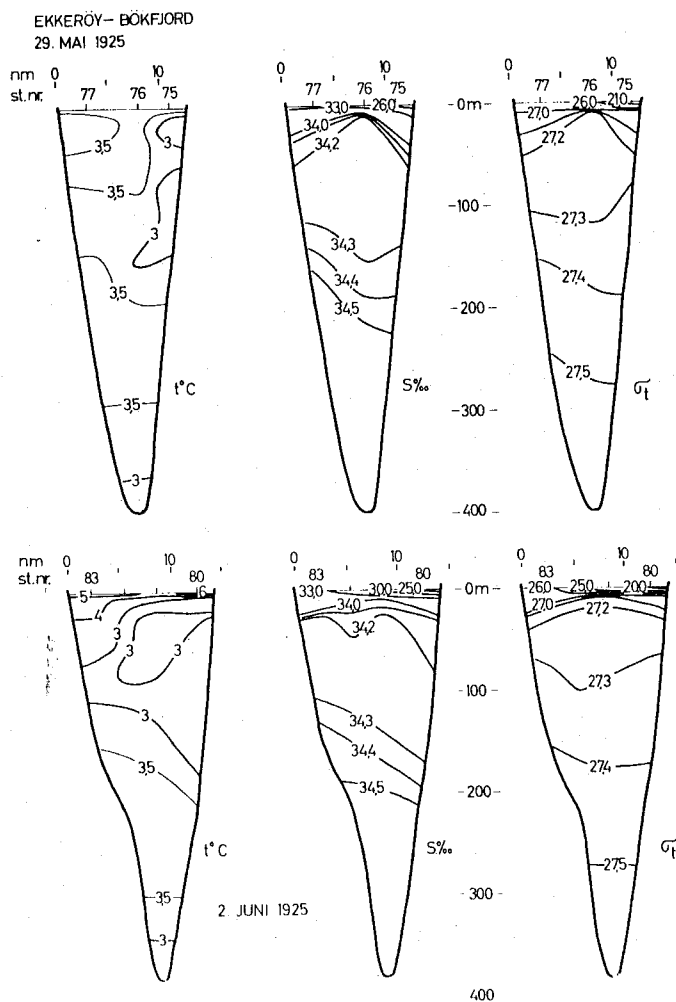
Figur 6. Hydrografiske stasjoner 1925.



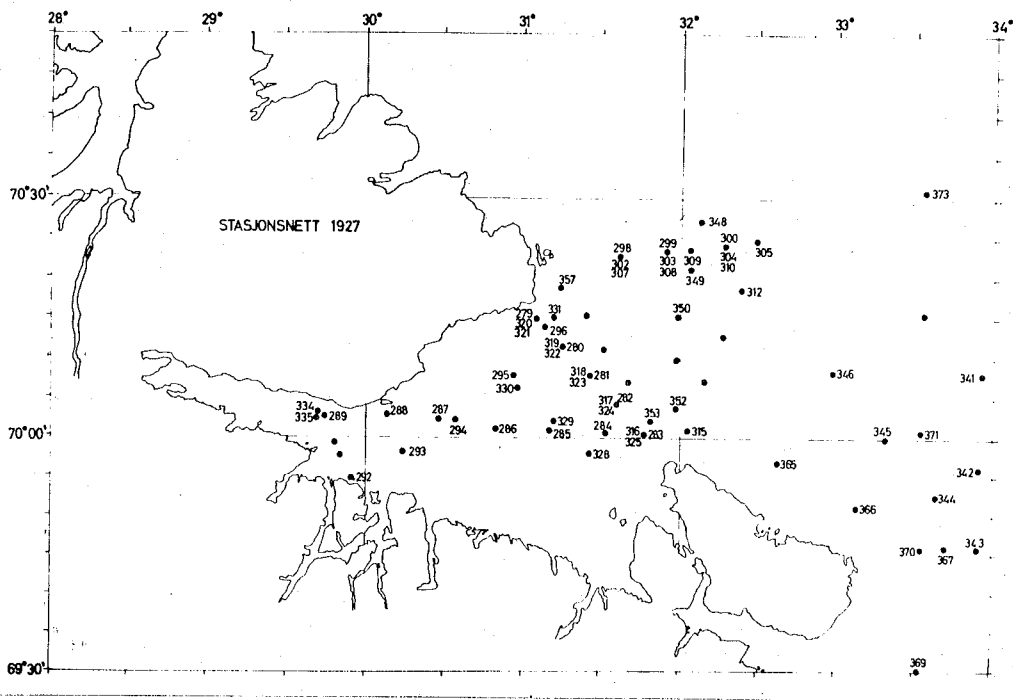
Figur 7. Hydrografiske snitt fra Vardø til Østbanken og fra Niemetsky til Østbanken, $t^{\circ}\text{C}$, $S\text{‰}$, σ_t , 1925.



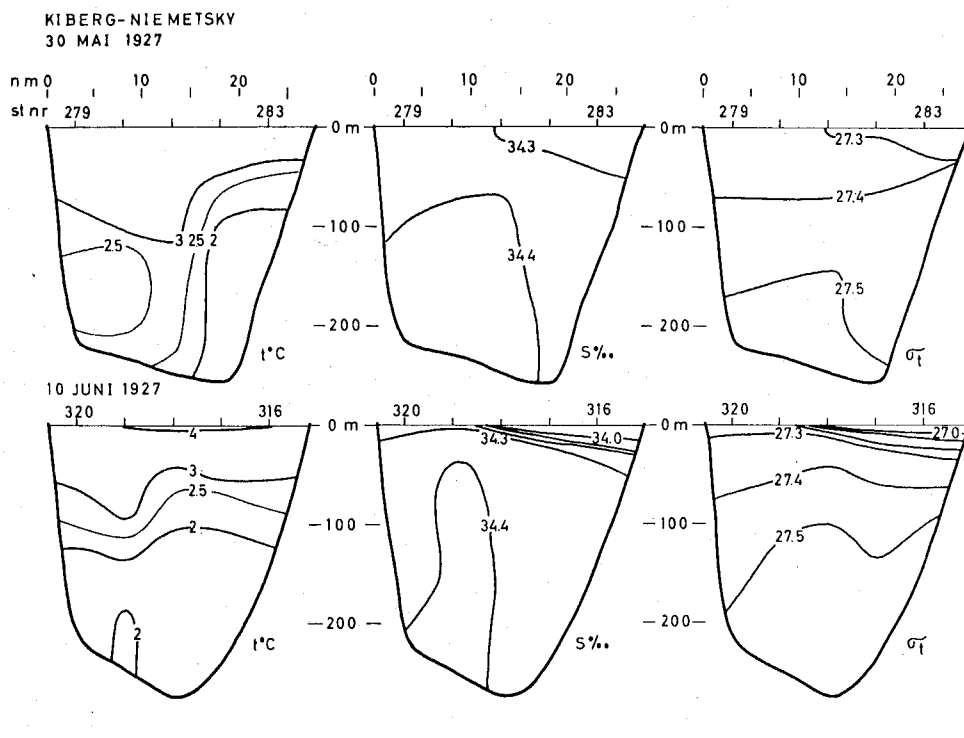
Figur 8. Hydrografiske snitt fra Vardø til Niemetsky, $t^{\circ}\text{C}$, $S\text{‰}$, σ_t , 1925.



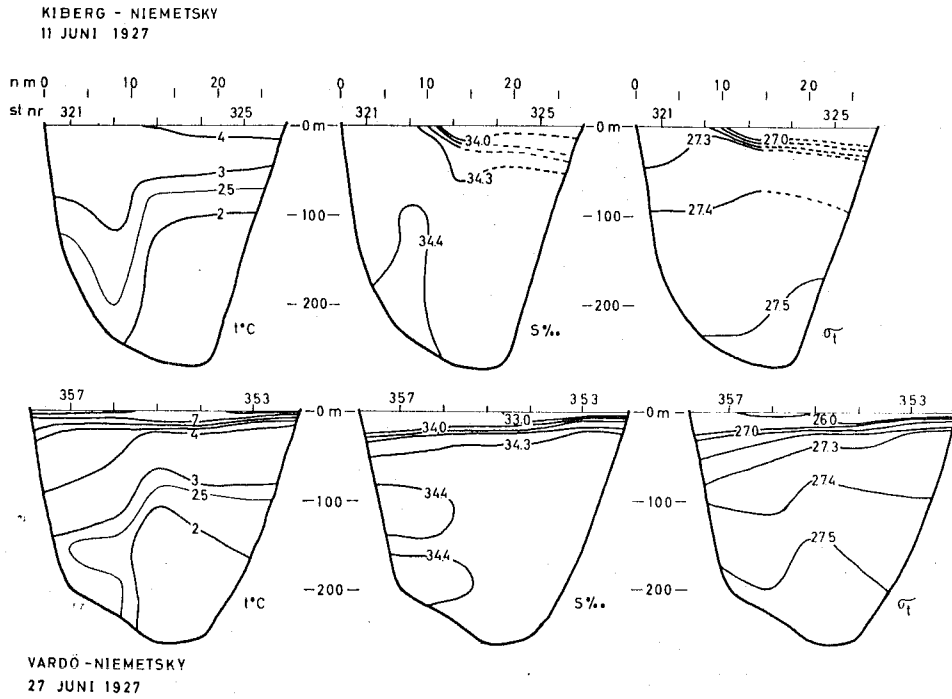
Figur 9. Hydrografiske snitt fra Ekkerøy til Bøkfjord, $t^{\circ}\text{C}$, $S\text{‰}$, σ_t , 1925.



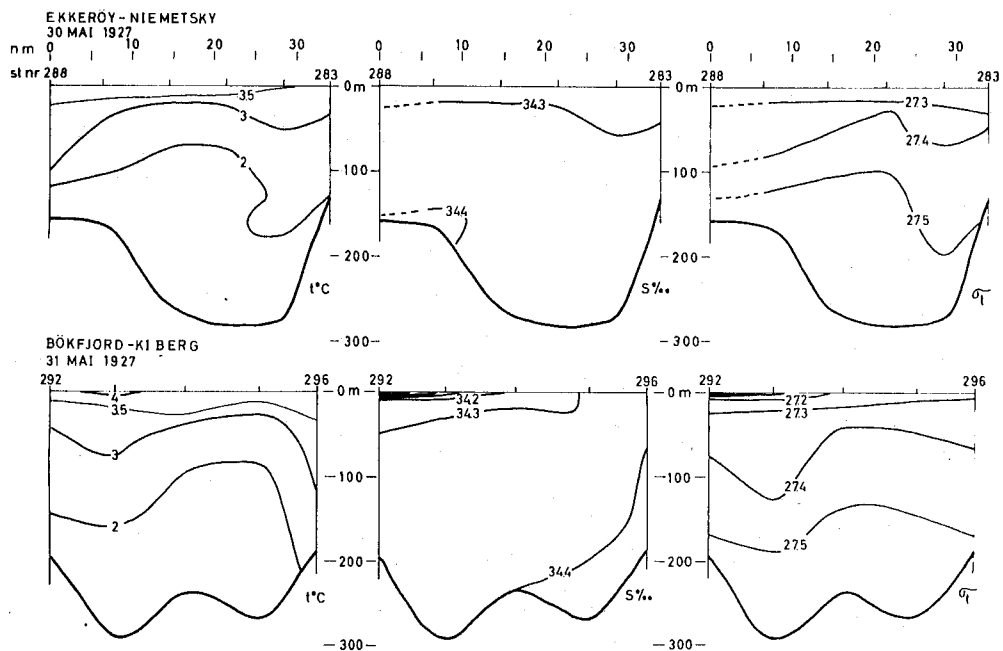
Figur 10. Hydrografiske stasjoner 1927.



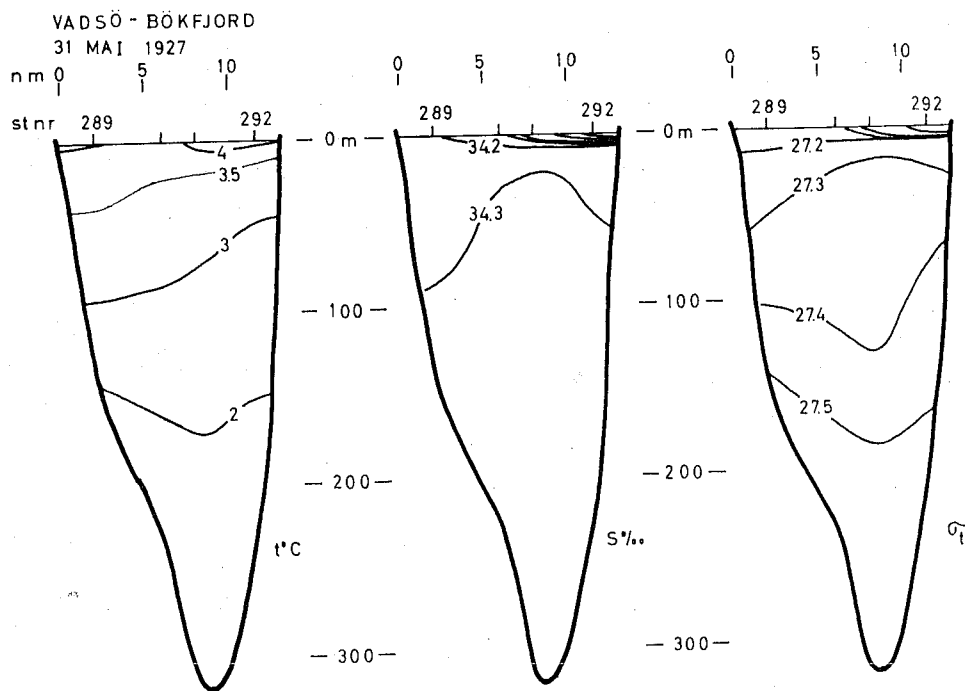
Figur 11. Hydrografiske snitt fra Kiberg til Niemetsky, $t^{\circ}\text{C}$, $S_{\text{‰}}$, σ_t , 1927.



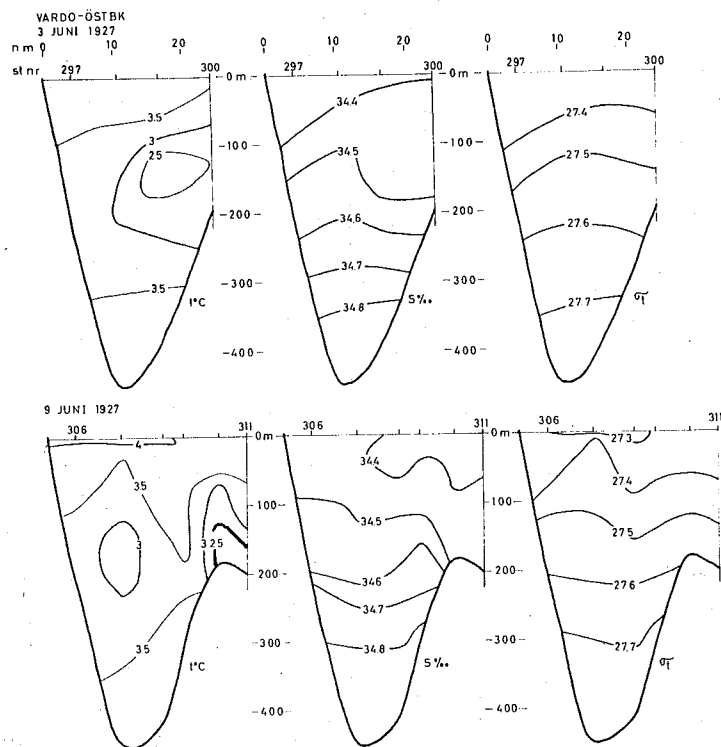
Figur 12. Hydrografiske snitt fra Kiberg til Niemetsky og fra Vardø til Niemetsky, $t^{\circ}\text{C}$, $S\text{‰}$, σ_t , 1927.



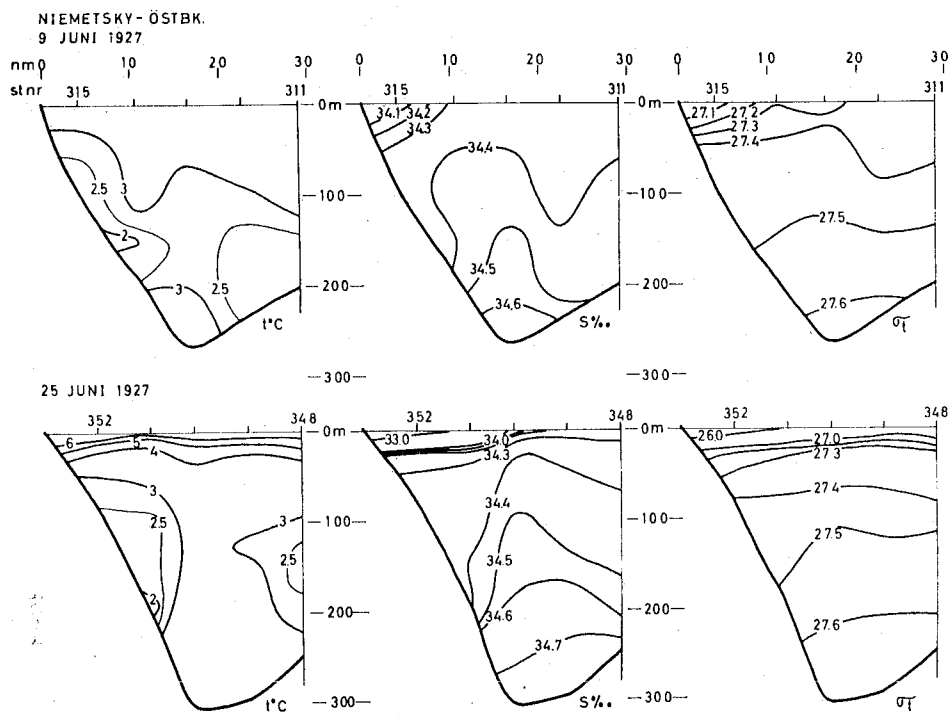
Figur 13. Hydrografiske snitt fra Ekkerøy til Niemetsky og fra Bøkfjord til Kiberg, $t^{\circ}\text{C}$, $S\text{‰}$, σ_t , 1927.



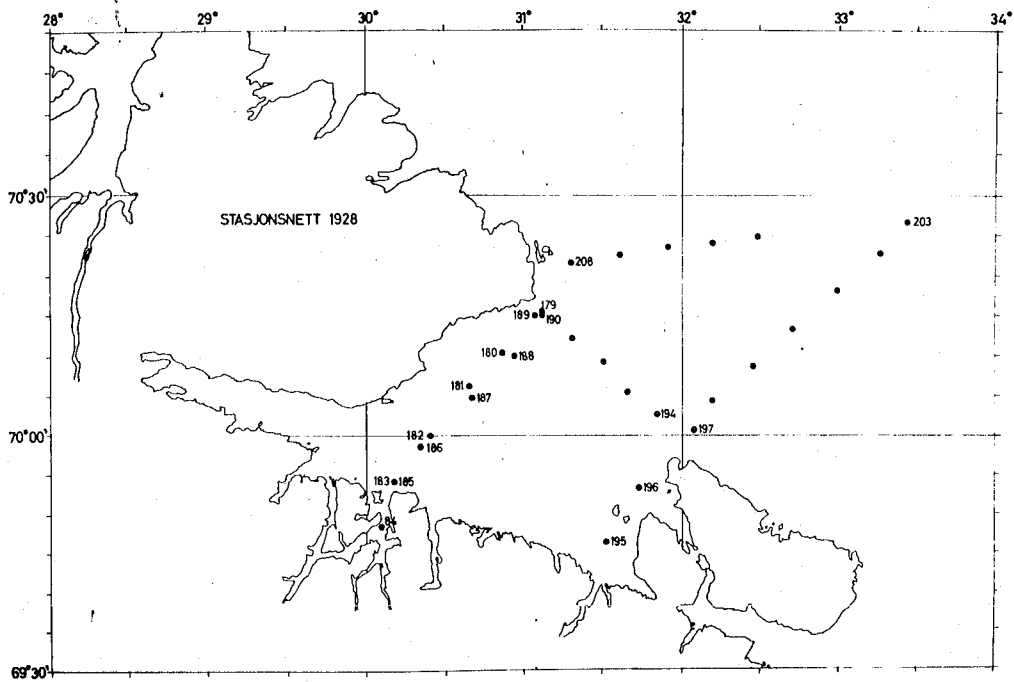
Figur 14. Hydrografisk snitt fra Vadsø til Bøkfjord,
t°C, S‰, σt, 1927.



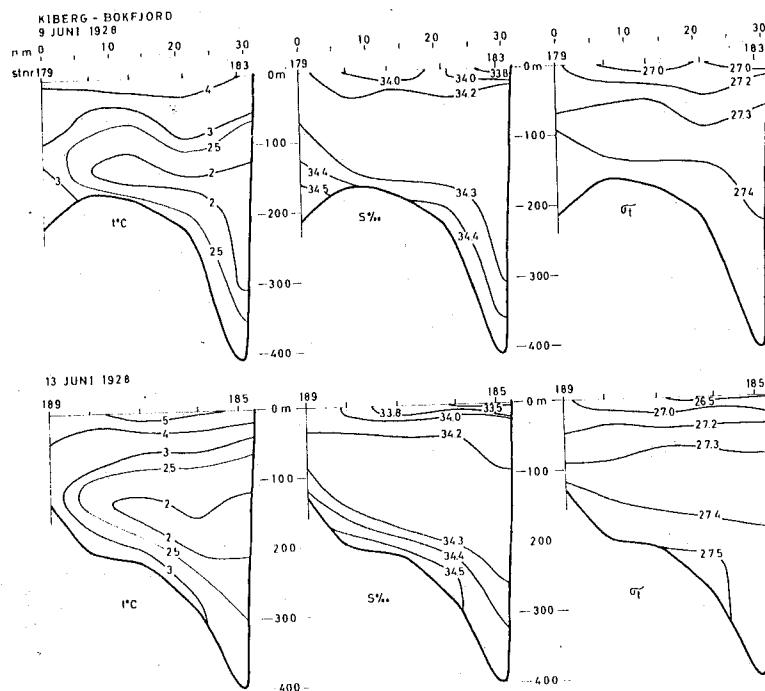
Figur 15. Hydrografiske snitt fra Vardø til Østbanken,
t°C, S‰, σt, 1927.



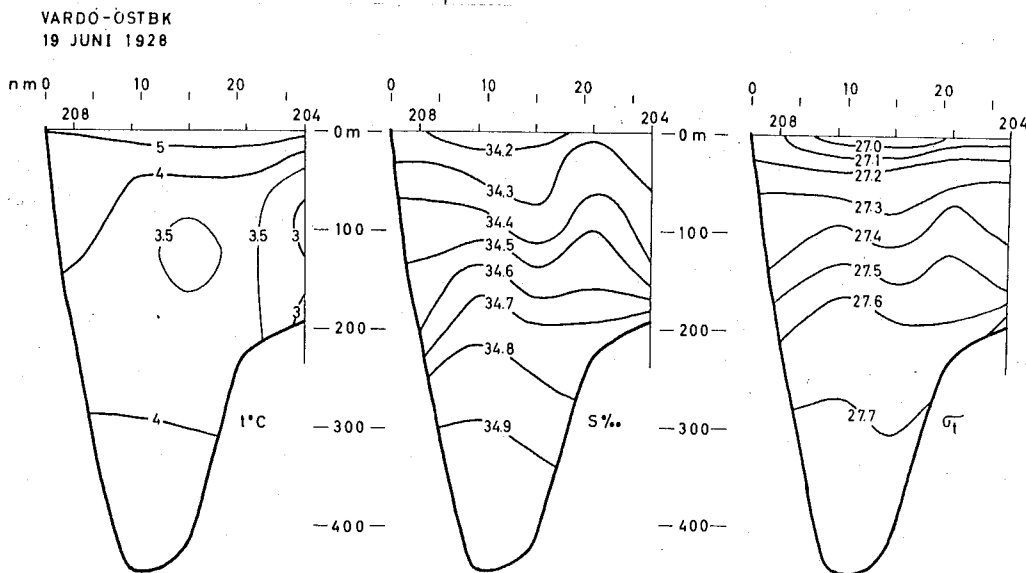
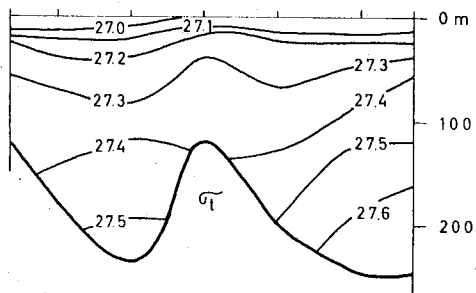
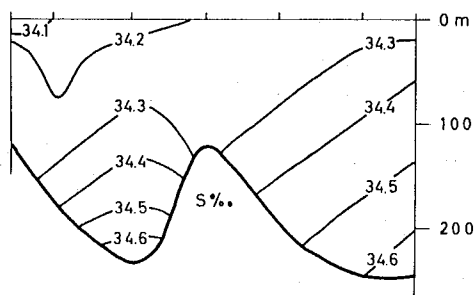
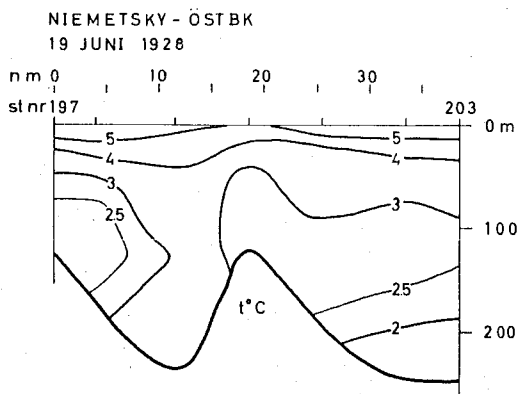
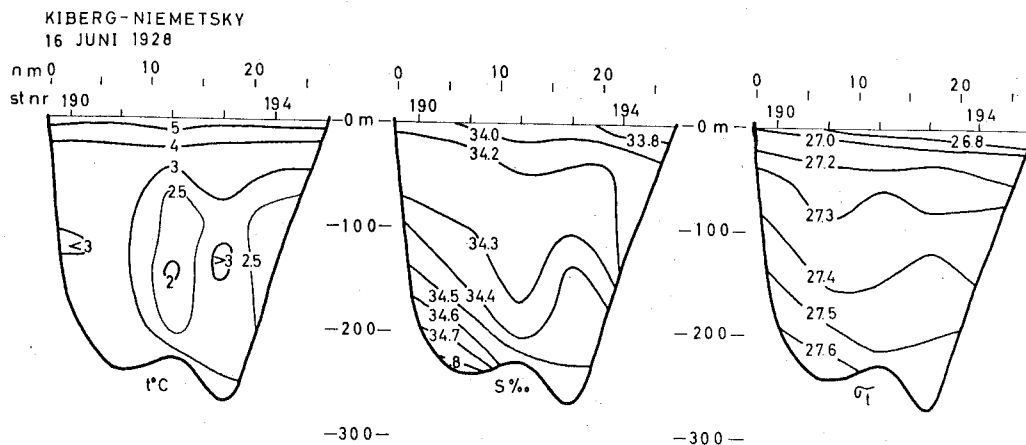
Figur 16. Hydrografiske snitt fra Niemetsky til Østbanken,
 $t^{\circ}C$, $S_{\text{‰}}$, σ_t , 1927.



Figur 17. Hydrografiske stasjoner 1928.



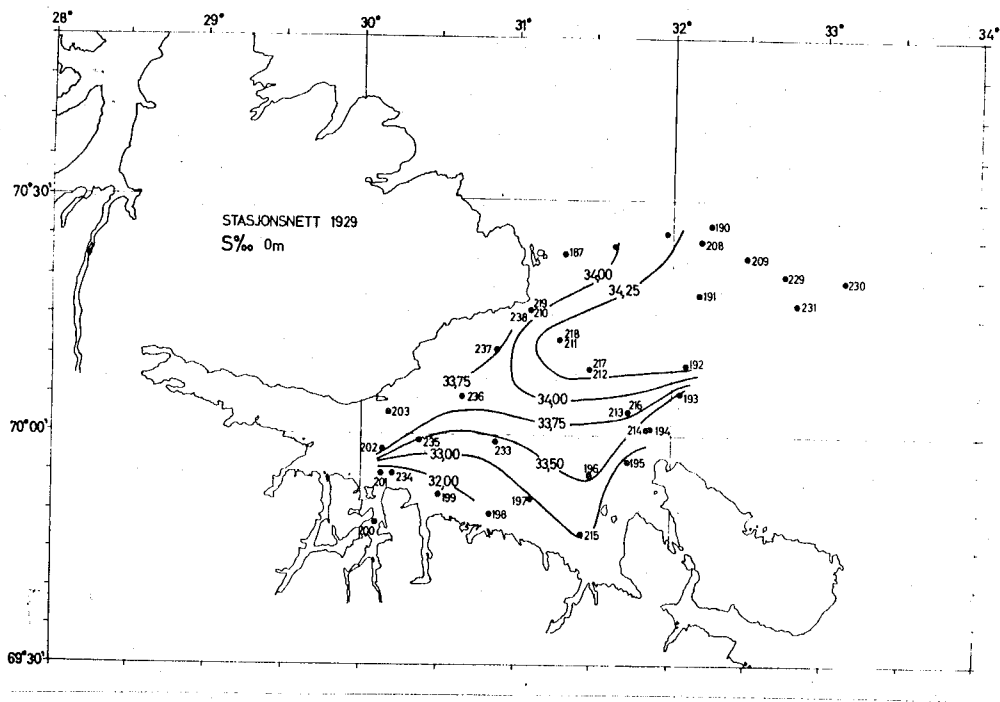
Figur 18. Hydrografiske snitt fra Kiberg til Bøkfjord, $t^{\circ}\text{C}$, S‰, σ_t , 1928.



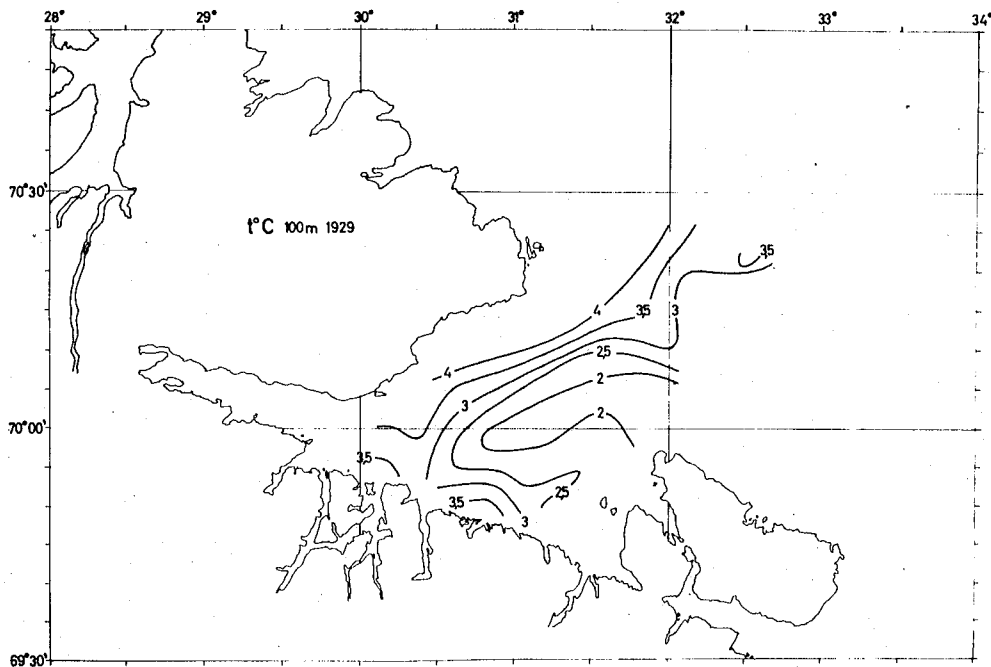
Figur 19. Hydrografisk snitt fra Kiberg til Niemetsky, $t^{\circ}\text{C}$, $S\text{‰}$, σ_t , 1928.

Figur 20. Hydrografisk snitt fra Niemetsky mot nordøst, $t^{\circ}\text{C}$, $S\text{‰}$, σ_t , 1928.

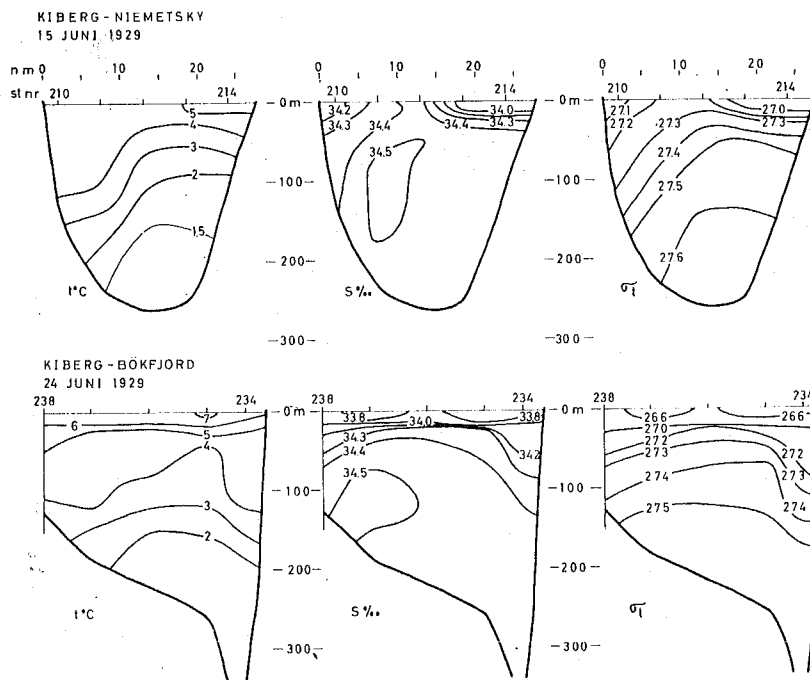
Figur 21. Hydrografisk snitt fra Vardø til Østbanken, $t^{\circ}\text{C}$, $S\text{‰}$, σ_t , 1928.



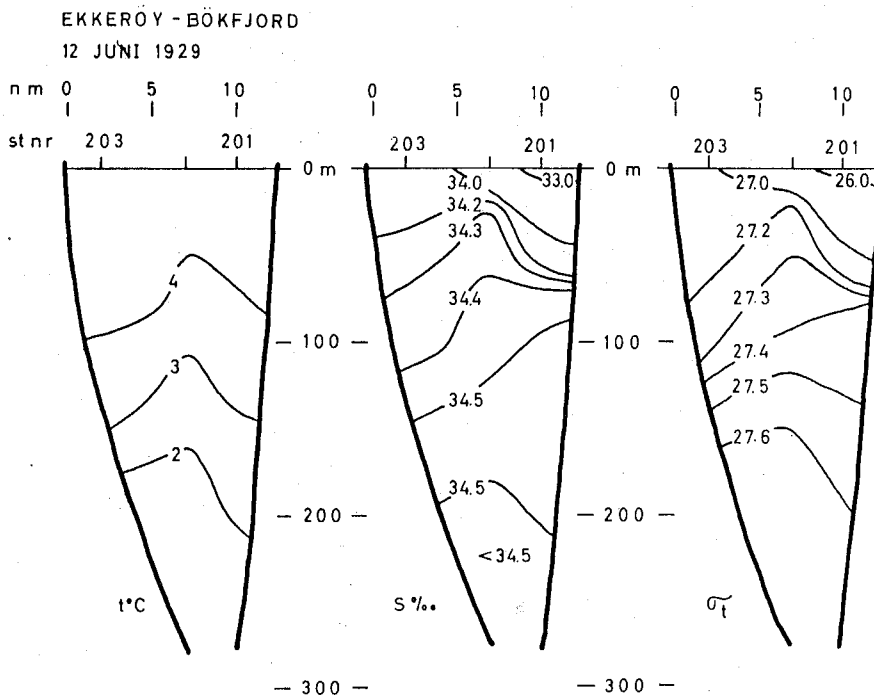
Figur 22. Hydrografiske stasjoner, fordelingen av saltholdighet i overflaten, 1929.



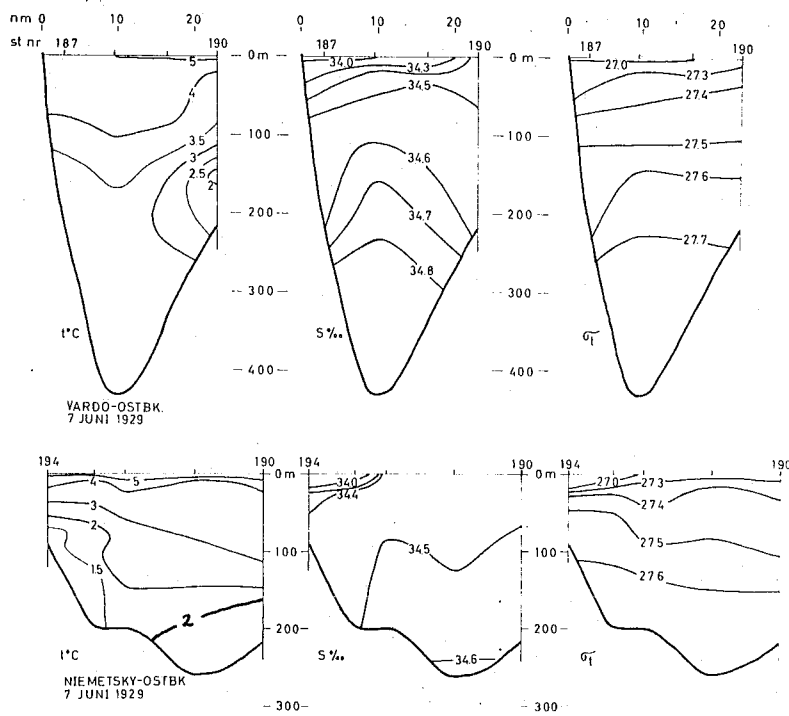
Figur 23. Temperaturfordelingen i 100 m, 1929.



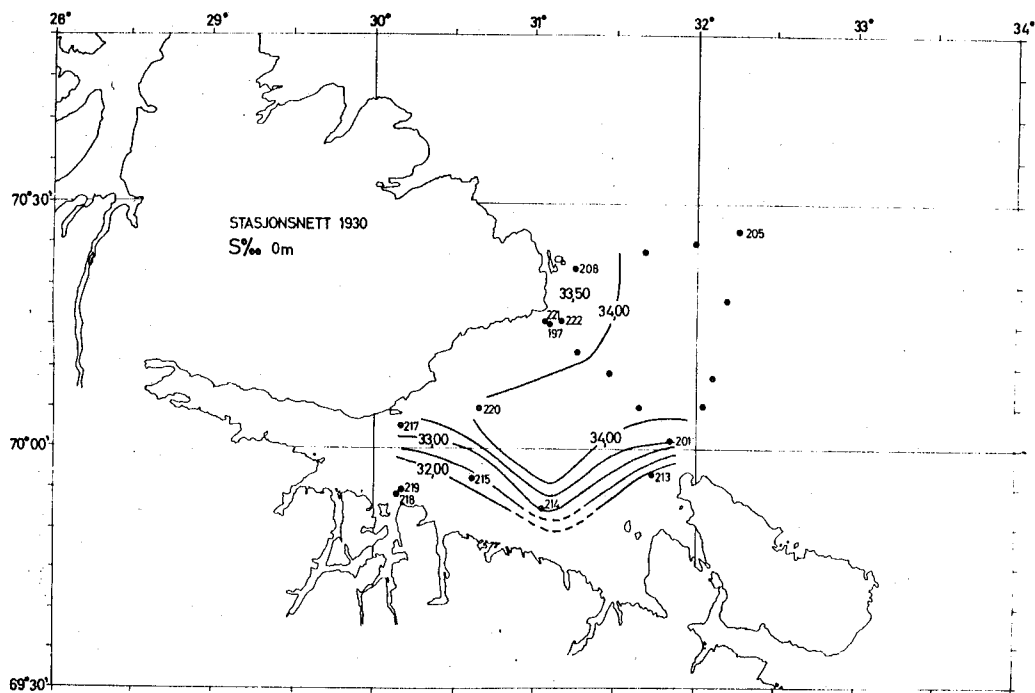
Figur 24. Hydrografiske snitt fra Kiberg til Niemetsky og fra Kiberg til Bøkfjord, $t^{\circ}\text{C}$, $S\text{‰}$, σ_t , 1929.



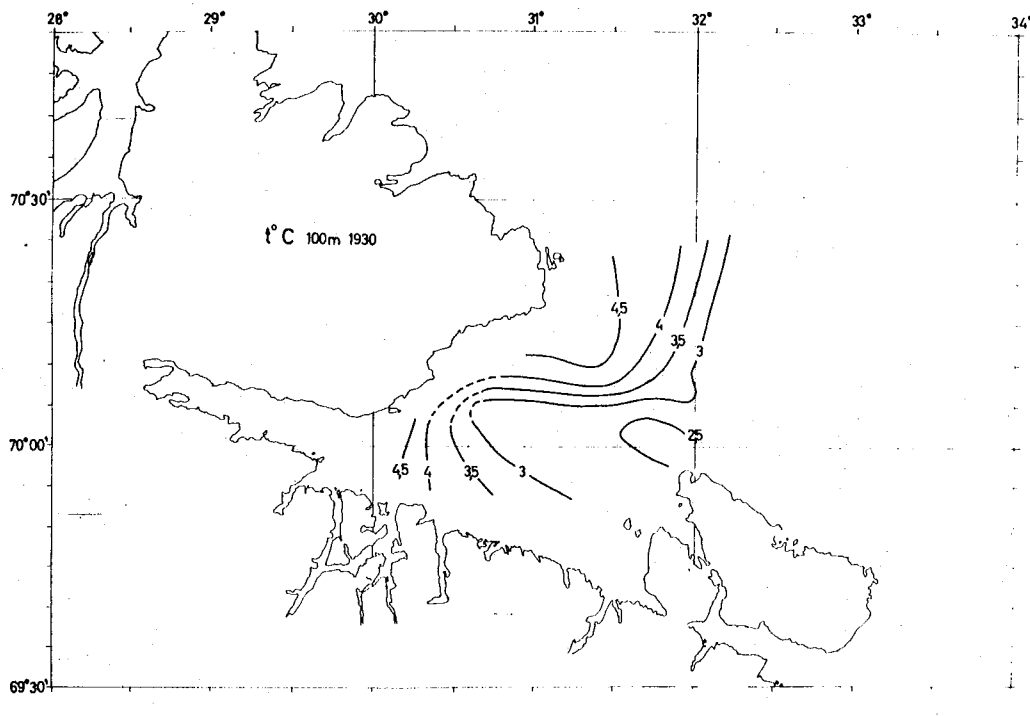
Figur 25. Hydrografisk snitt fra Ekkerøy til Bøkfjord, $t^{\circ}\text{C}$, $S\text{‰}$, σ_t , 1929.



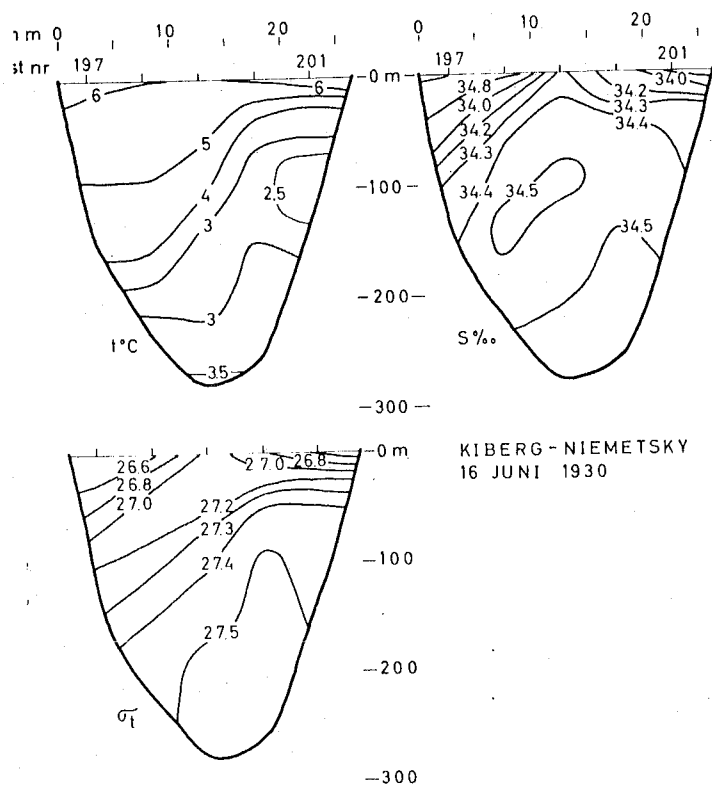
Figur 26. Hydrografiske snitt fra Vardø til Østbanken og fra Niemetsky til Østbanken, $t^{\circ}\text{C}$, $S_{\text{‰}}$, σ_t , 1929.



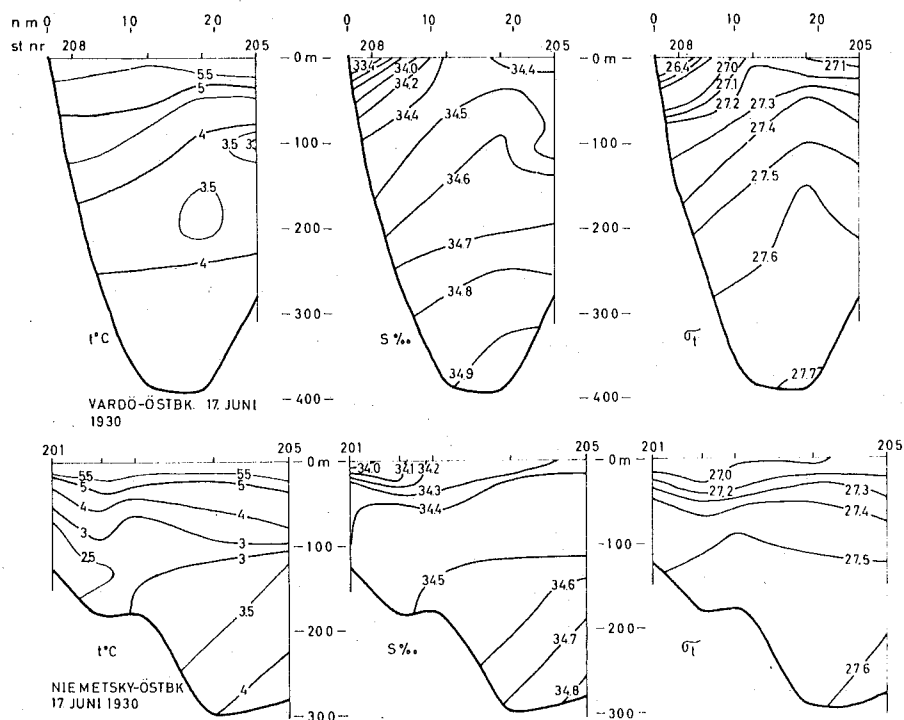
Figur 27. Hydrografiske stasjoner, fordelingen av saltholdighet i overflaten, 1930.



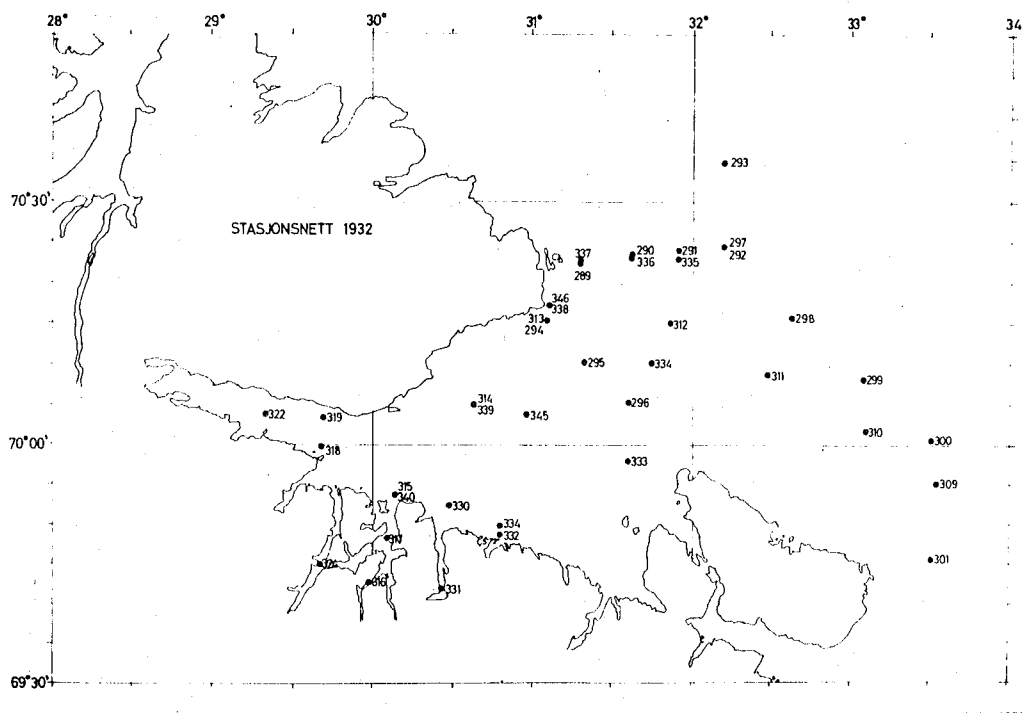
Figur 28. Temperaturfordelingen i 100 m, 1930.



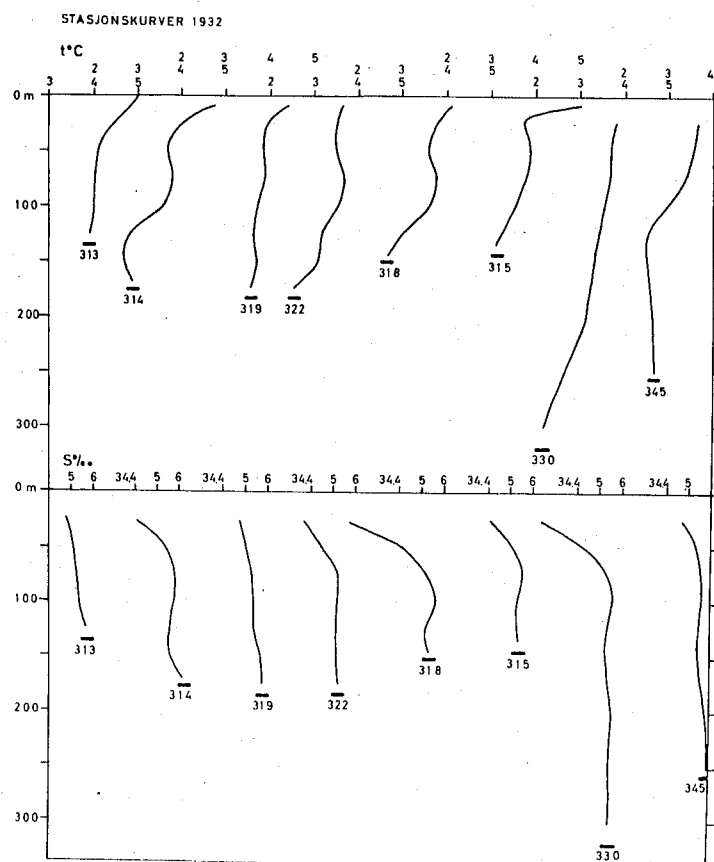
Figur 29. Hydrografisk snitt fra Kiberg til Niemetsky, $t^{\circ}\text{C}$, $S\%$, σ_t , 1930.



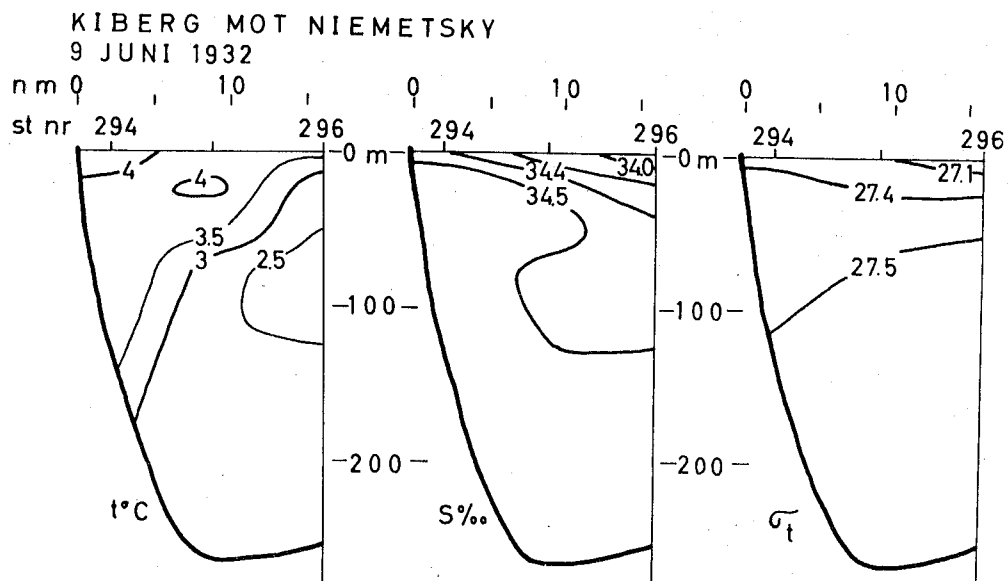
Figur 30. Hydrografiske snitt fra Vardø til Østbanken og fra Niemetsky til Østbanken, $t^{\circ}\text{C}$, $S\%$, σ_t , 1930.



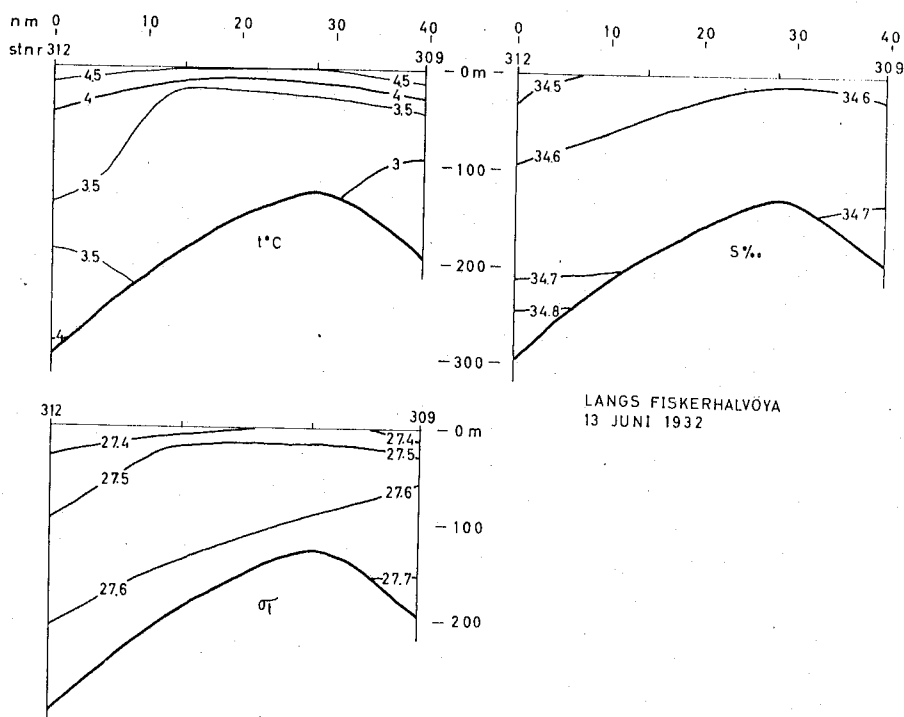
Figur 31. Hydrografiske stasjoner 1932.



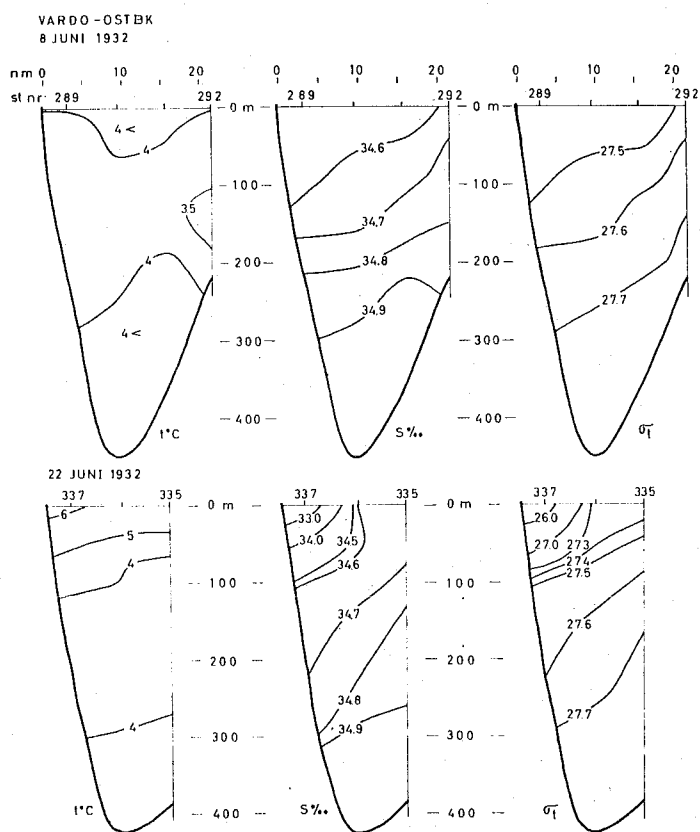
Figur 32. Stasjonskurver for temperatur og saltholdighet 1932.



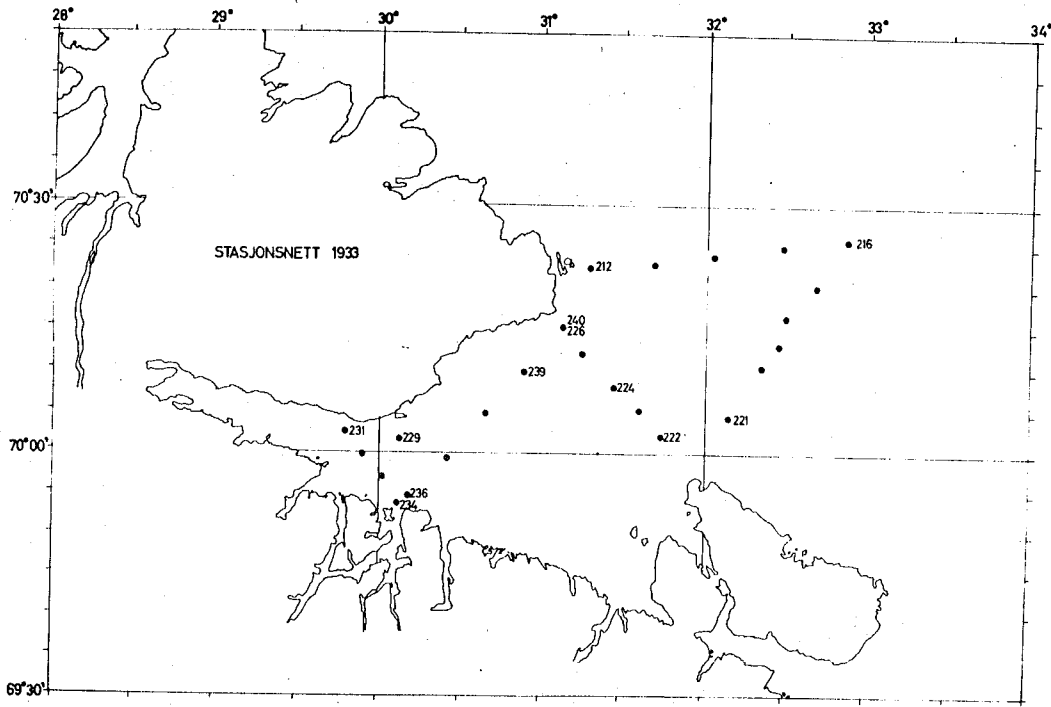
Figur 33. Hydrografisk snitt fra Kiberg mot Niemetsky, $t^{\circ}\text{C}$, $S\text{‰}$, σ_t , 1932.



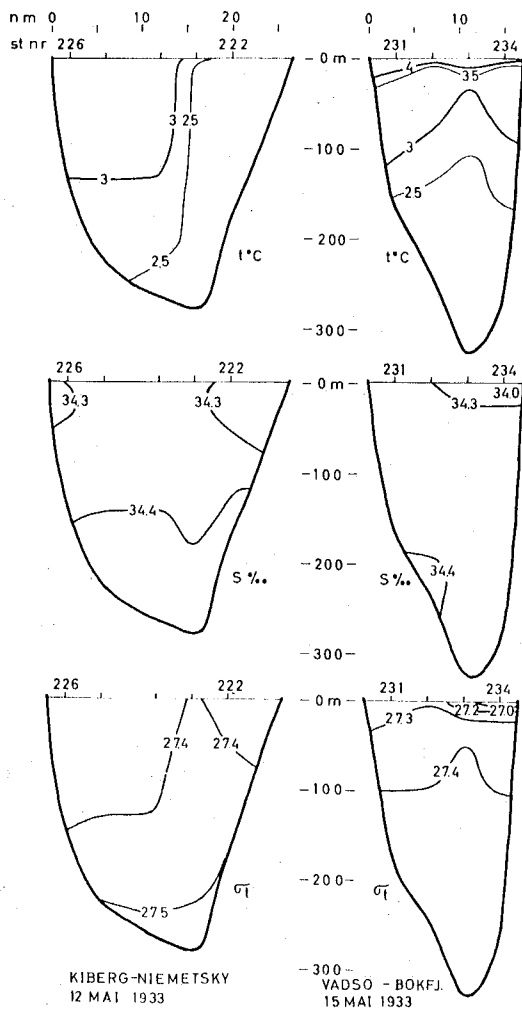
Figur 34. Hydrografisk snitt langs Fiskerhalvøya, $t^{\circ}\text{C}$, $S\text{‰}$, σ_t , 1932.



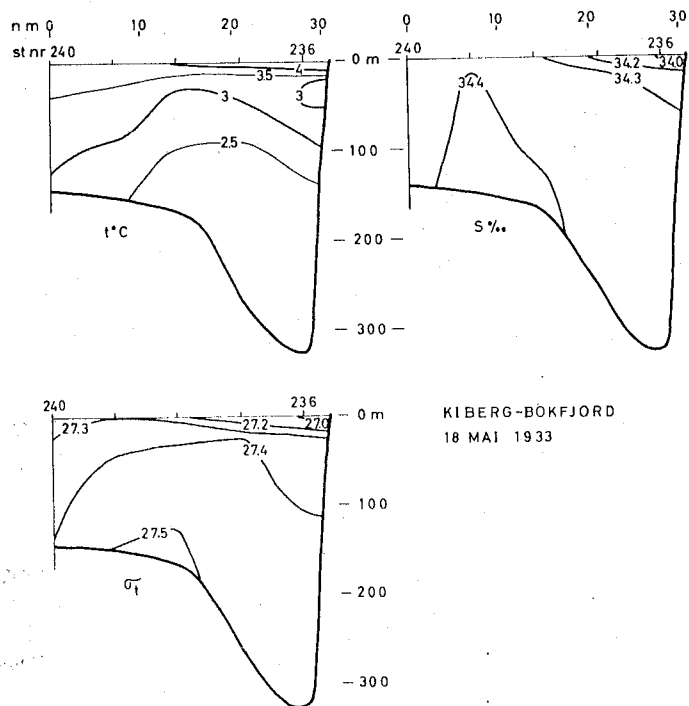
Figur 35. Hydrografiske snitt fra Vardø mot Østbanken,
t°C, S‰, σ_t , 1932.



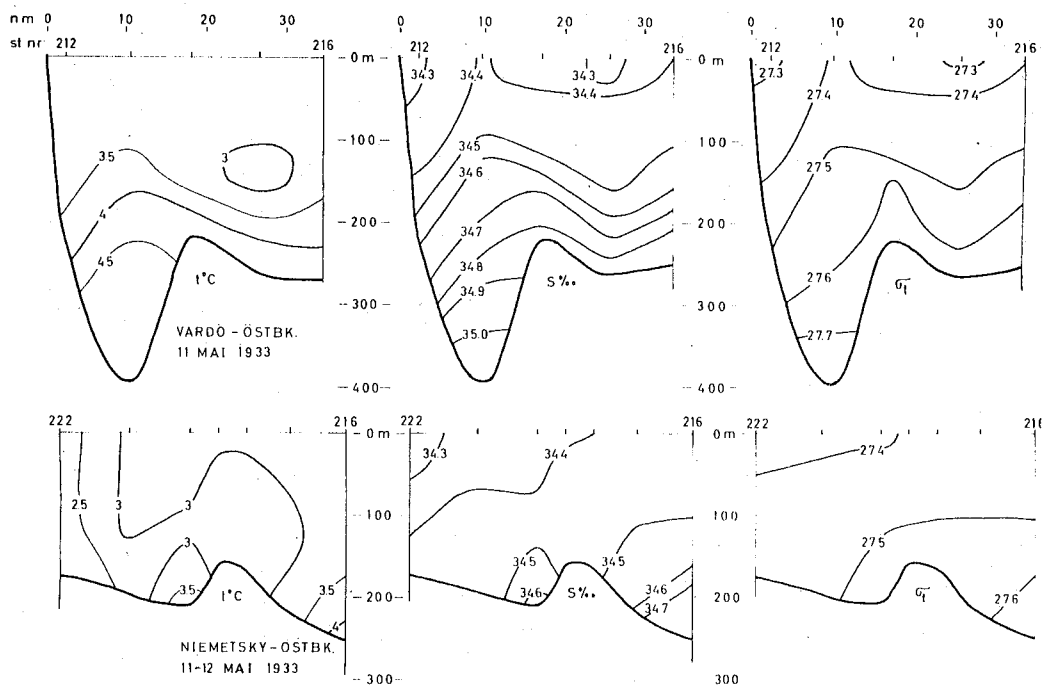
Figur 36. Hydrografiske stasjoner 1933.



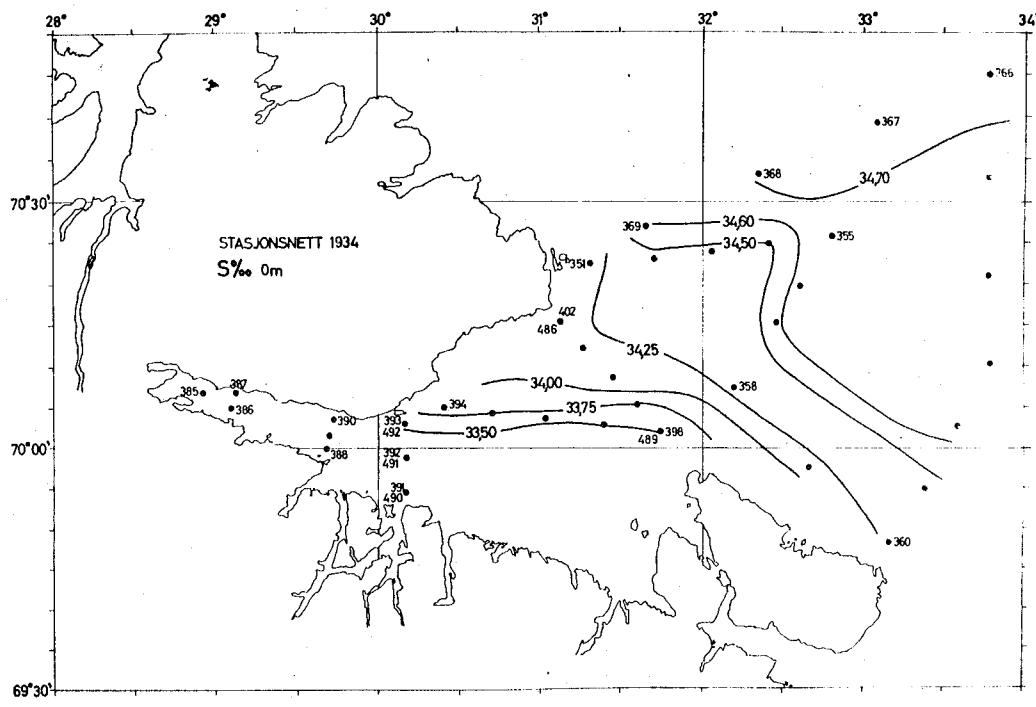
Figur 37. Hydrografiske snitt fra Kiberg til Niemetsky og fra Vadsø til Bøkfjord, $t^{\circ}C$, $S_{\text{‰}}$, σ_t , 1933.



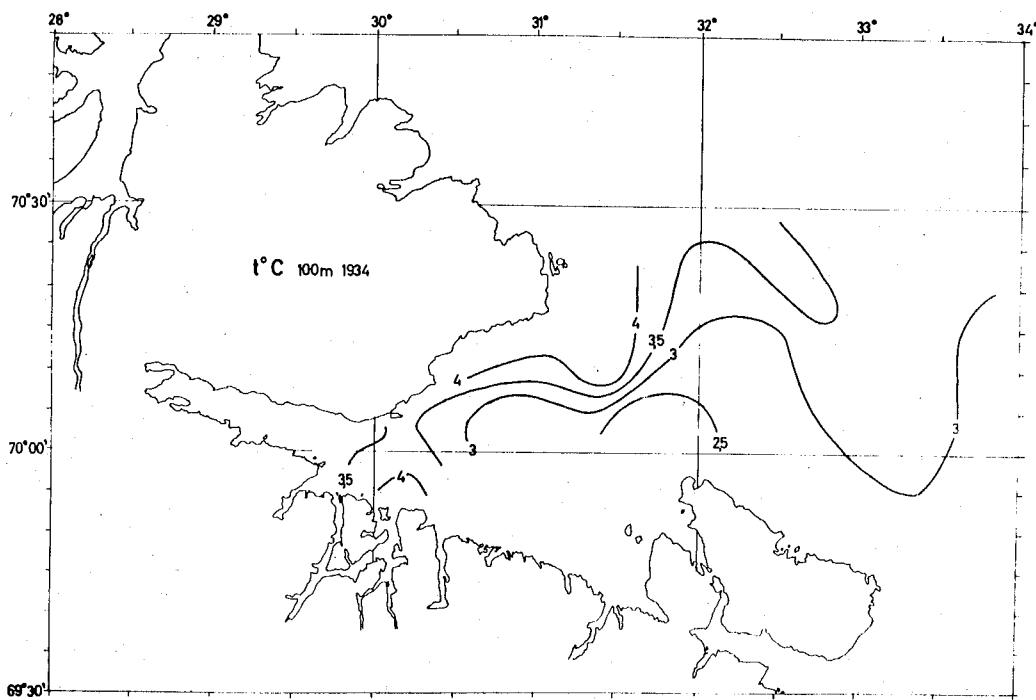
Figur 38. Hydrografisk snitt fra Kiberg til Bøkfjord, $t^{\circ}\text{C}$, $S\text{‰}$, σ_t , 1933.



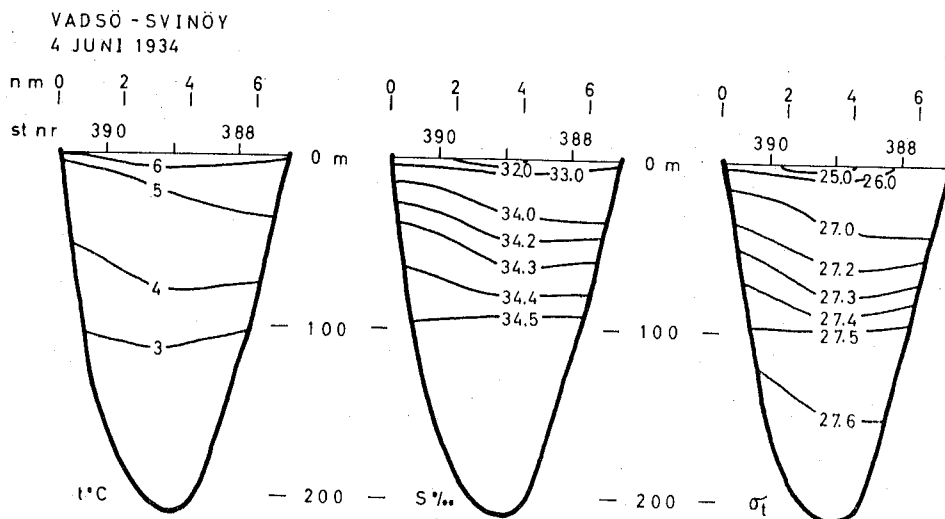
Figur 39. Hydrografiske snitt fra Vardø til Østbanken og fra Niemetsky til Østbanken, $t^{\circ}\text{C}$, $S\text{‰}$, σ_t , 1933.



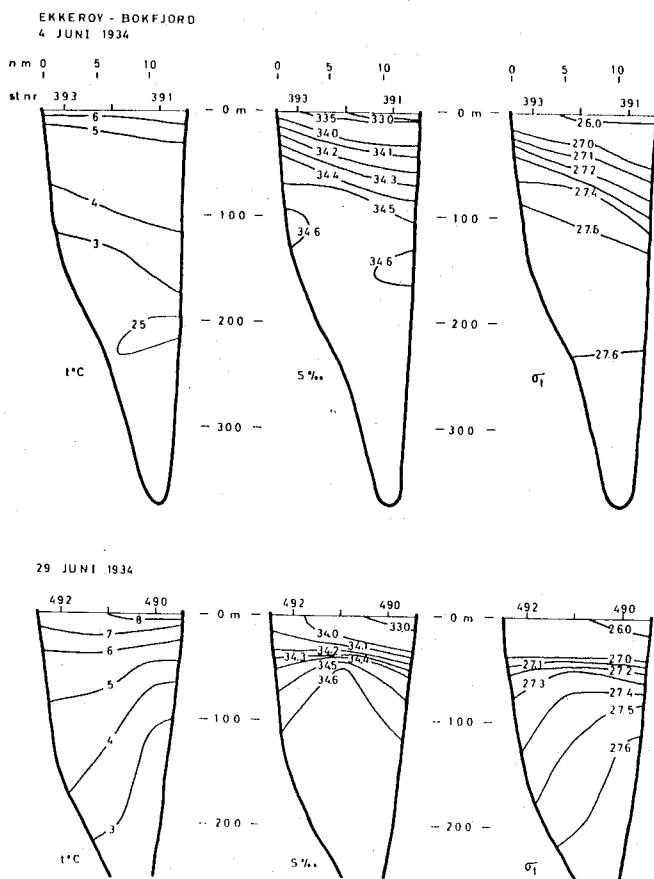
Figur 40. Hydrografiske stasjoner, fordelingen av saltholdighet i overflaten 1934.



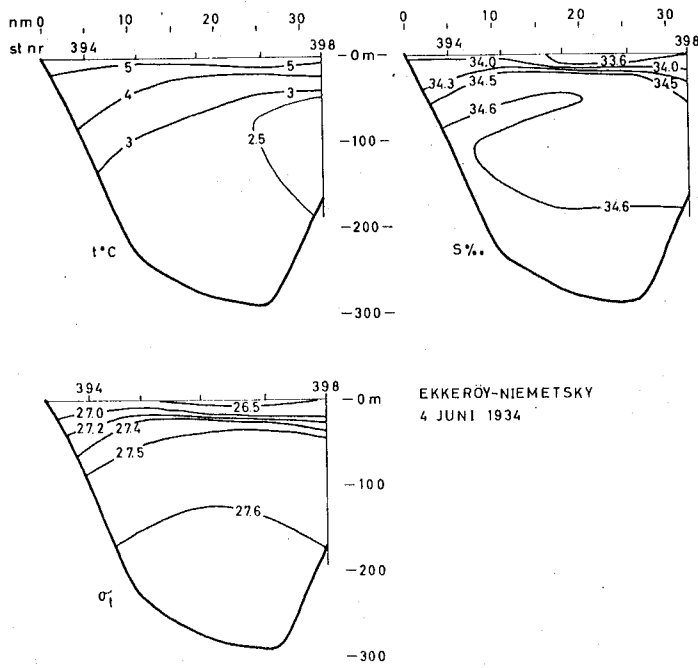
Figur 41. Temperaturfordelingen i 100 m, 1934.



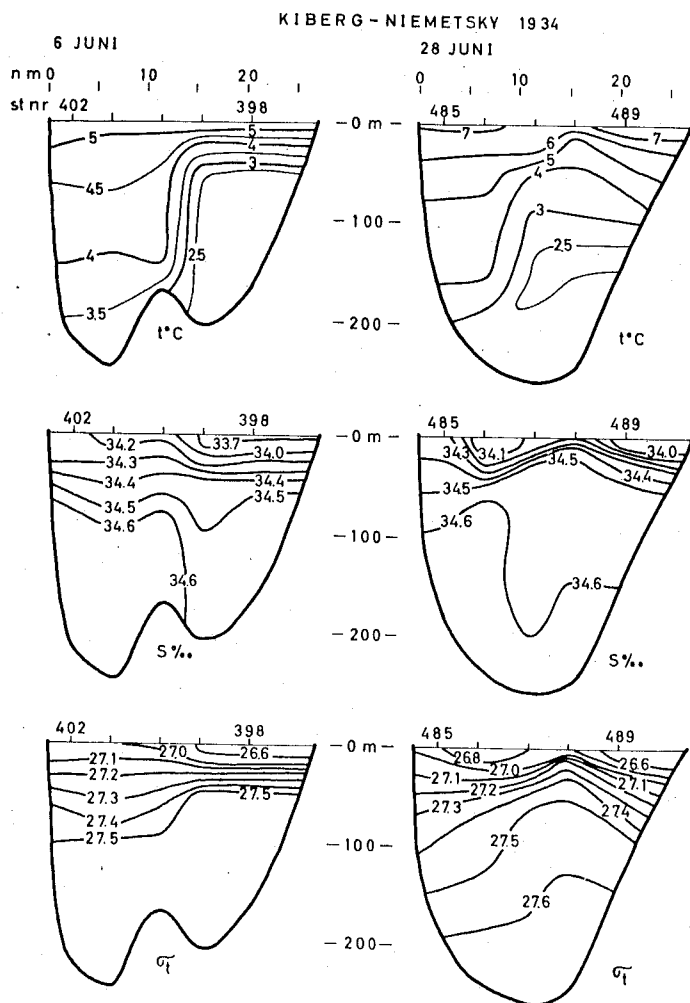
Figur 42. Hydrografisk snitt fra Vadsø til Svinøy,
 $t^{\circ}\text{C}$, $S\text{‰}$, σ_t , 1934.



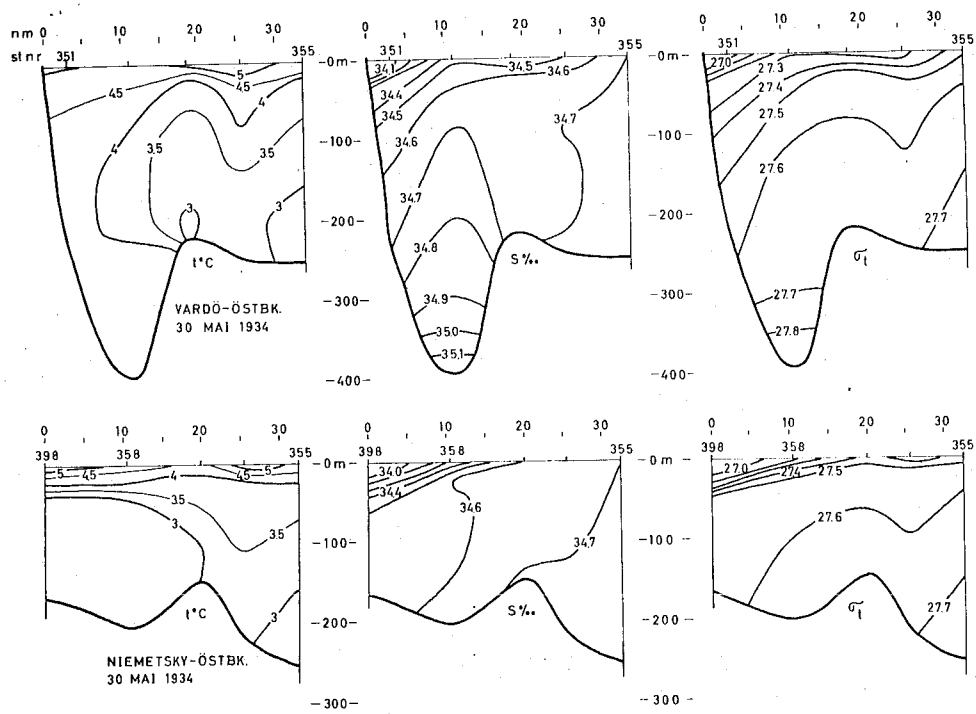
Figur 43. Hydrografiske snitt fra Ekkerøy til Bøkfjord,
 $t^{\circ}\text{C}$, $S\text{‰}$, σ_t , 1934.



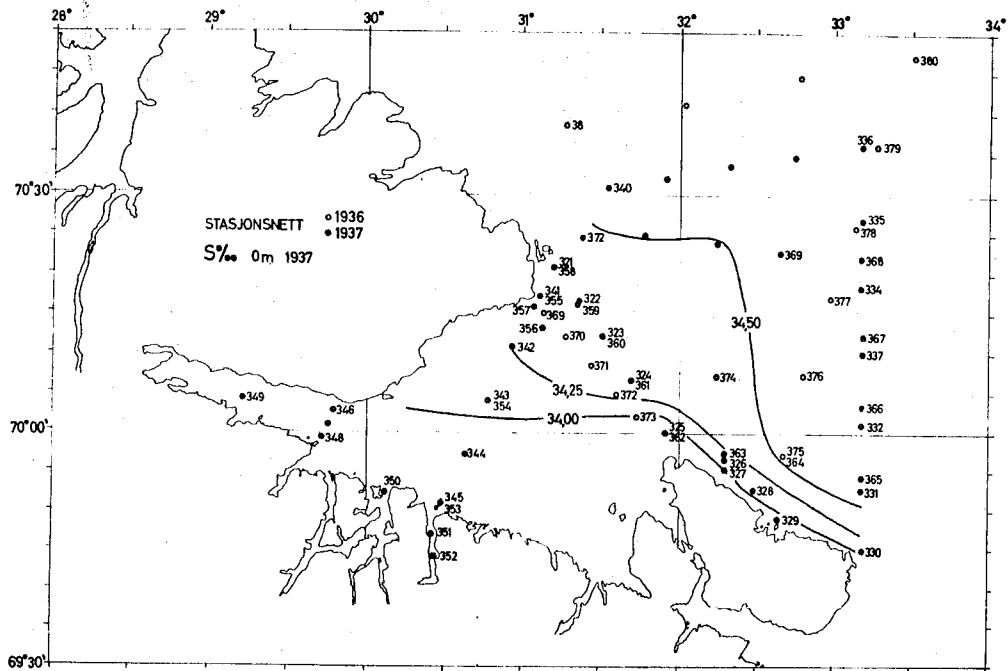
Figur 44. Hydrografisk snitt fra Ekkerøy til Niemetsky, $t^{\circ}\text{C}$, $S\text{‰}$, σ_t , 1934.



Figur 45.
Hydrografiske
snitt fra Kiberg
til Niemetsky,
 $t^{\circ}\text{C}$, $S\text{‰}$, σ_t , 1934.

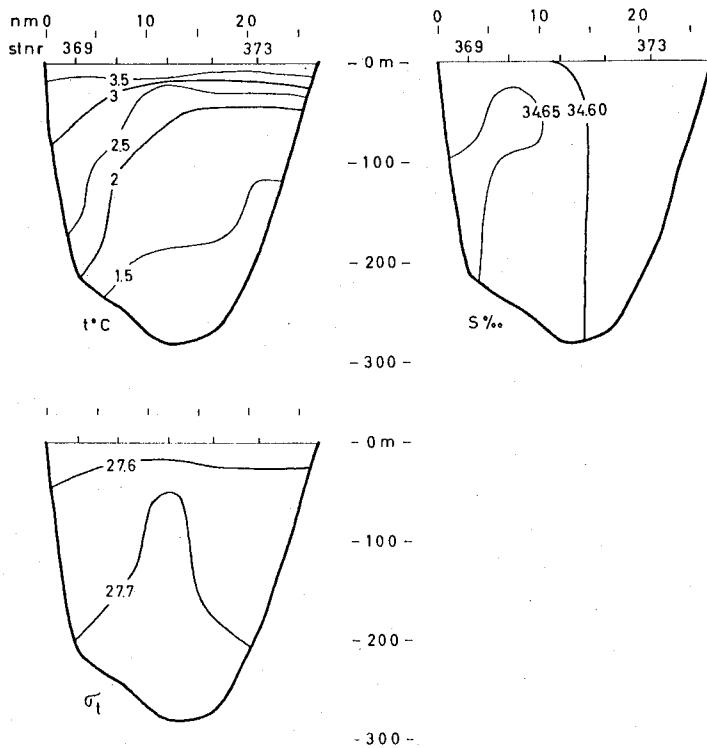


Figur 46. Hydrografiske snitt fra Vardø til Østbanken og fra Niemetsky til Østbanken, $t^{\circ}\text{C}$, $S_{\text{‰}}$, σ_t , 1934.

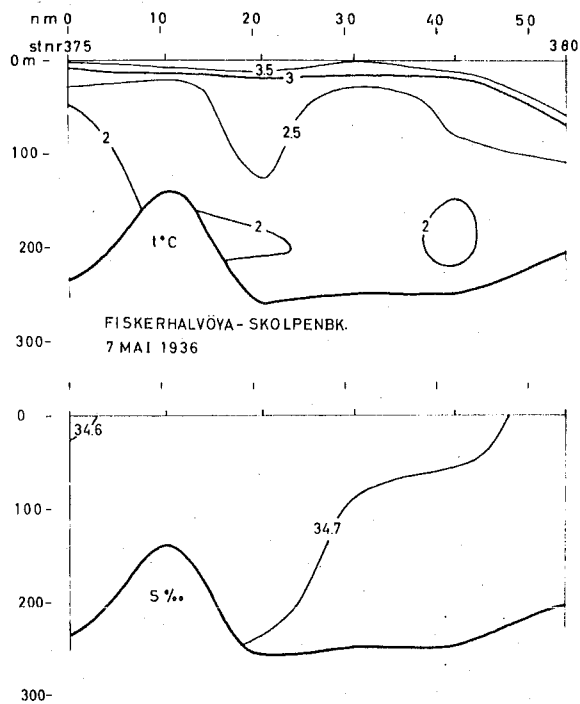


Figur 47. Hydrografiske stasjoner 1936 og 1937.
Fordelingen av saltholdighet i overflaten 1937.

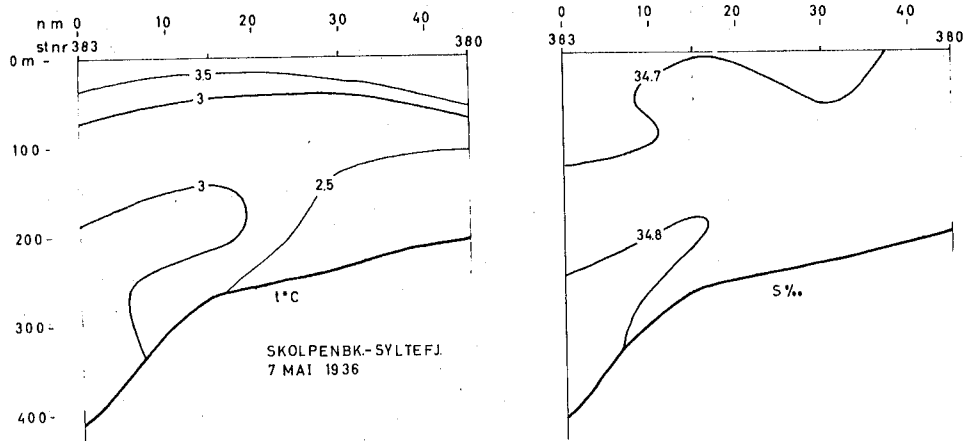
KIBERG NIEMETSKY
7 MAI 1936



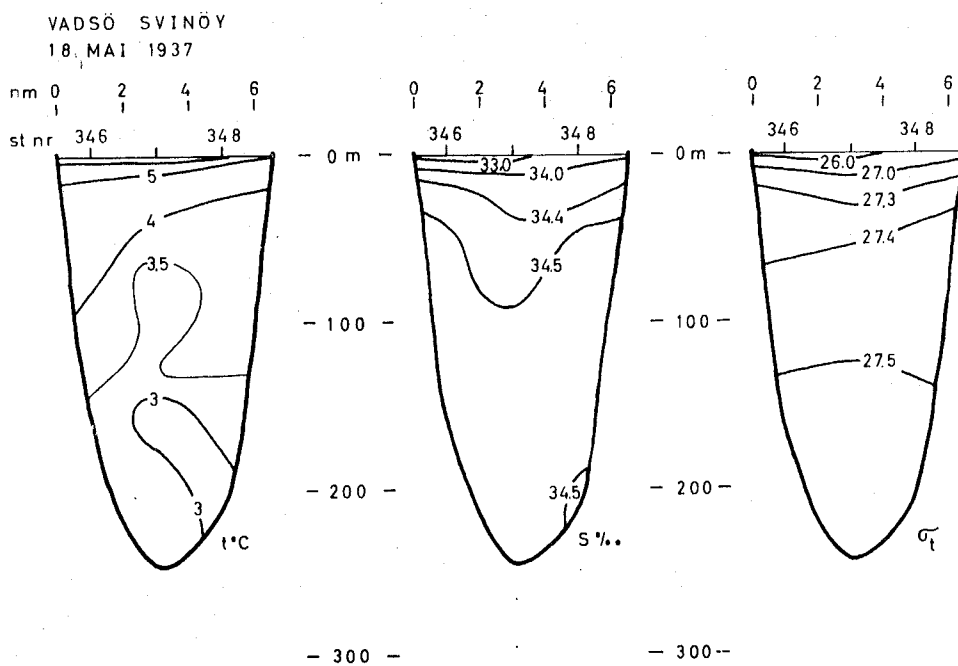
Figur 48. Hydrografisk snitt fra Kiberg til Niemetsky,
 $t^{\circ}\text{C}$, $S\%$, σ_t , 1936.



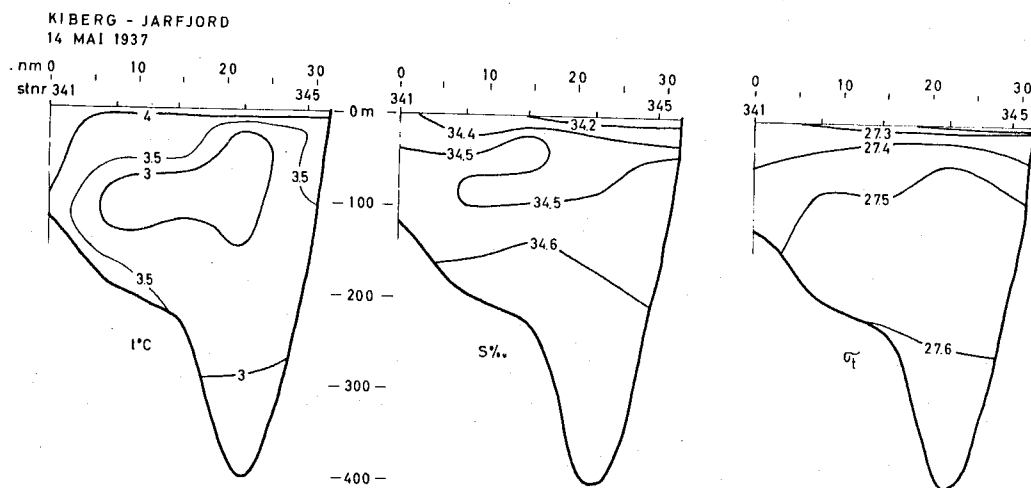
Figur 49. Hydrografisk snitt fra Fiskerhalvøya mot Skolpenbanken, $t^{\circ}\text{C}$, $S\%$, 1936.



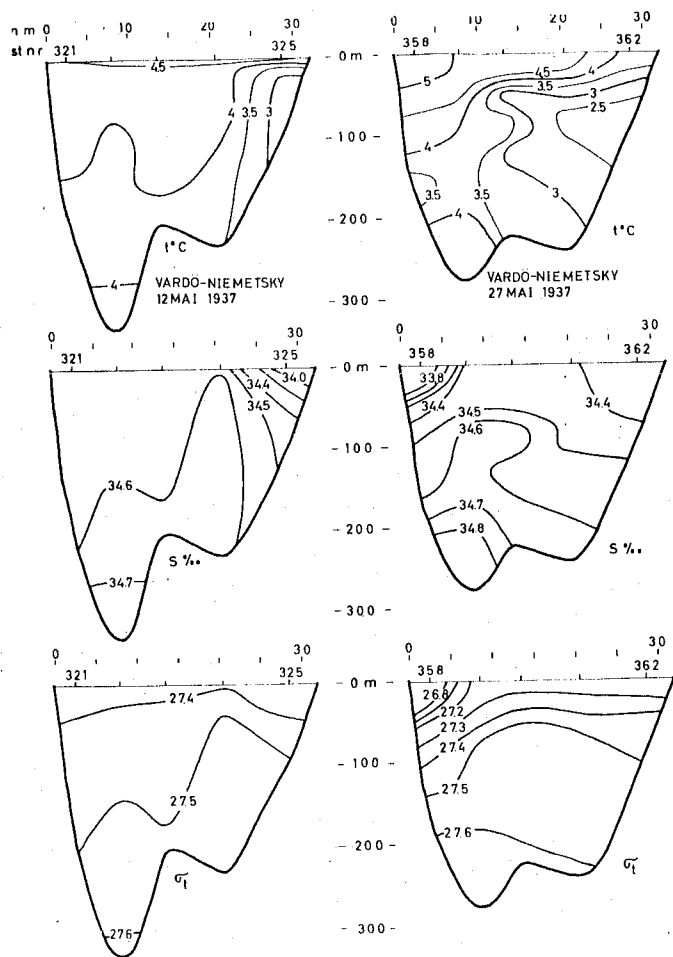
Figur 50. Hydrografisk snitt fra Skolpenbanken mot Syltefjord, $t^{\circ}\text{C}$, $S\%$, 1936.



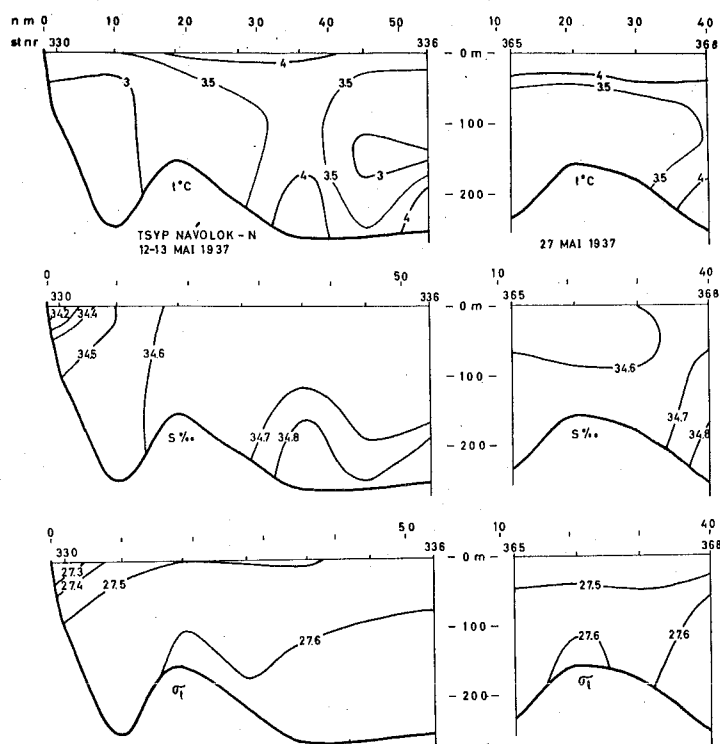
Figur 51. Hydrografisk snitt fra Vadsø til Svinøy, $t^{\circ}\text{C}$, $S\text{‰}$, σ_t , 1937.



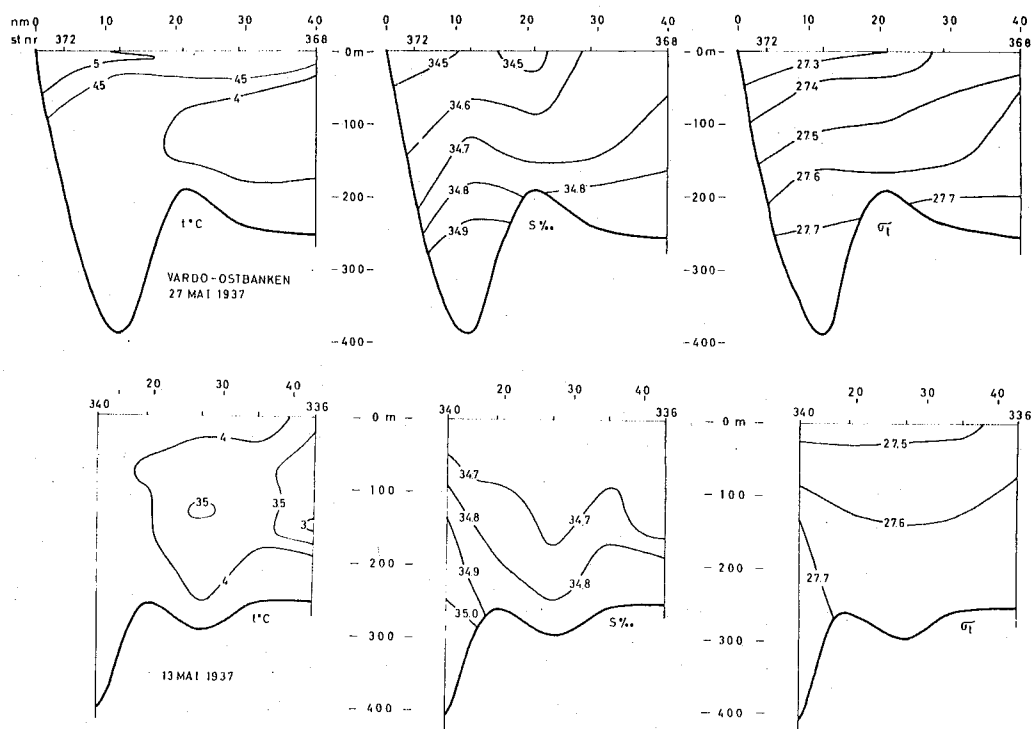
Figur 52. Hydrografisk snitt fra Kiberg til Jarfjord, $t^{\circ}\text{C}$, $S\text{‰}$, σ_t , 1937.



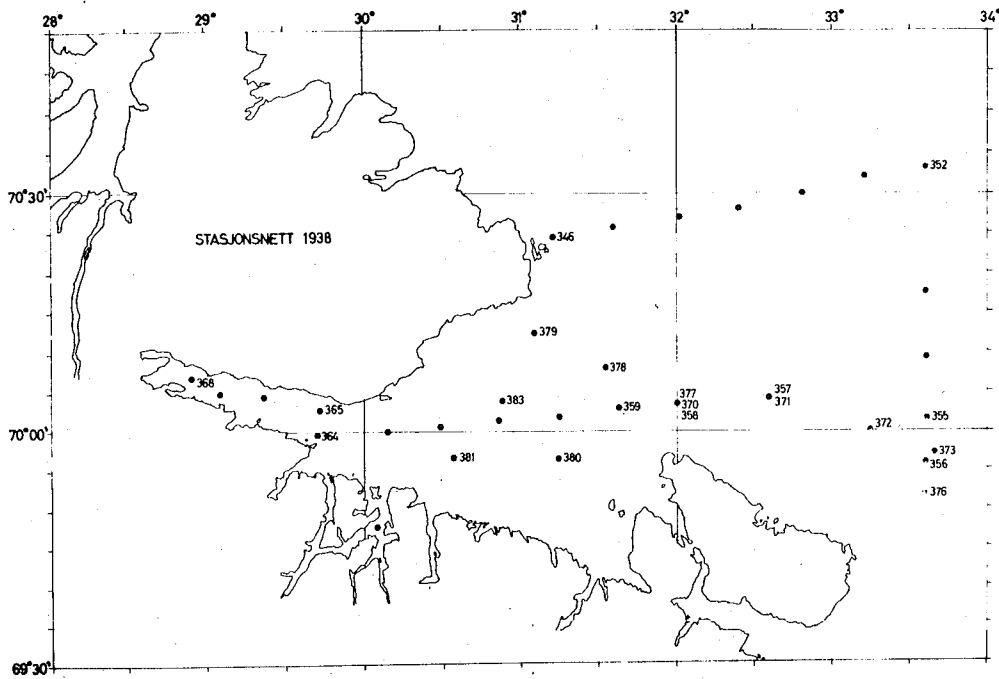
Figur 53. Hydrografiske snitt fra Vardø til Niemetsky, $t^{\circ}\text{C}$, $S_{\text{‰}}$, σ_t , 1937.



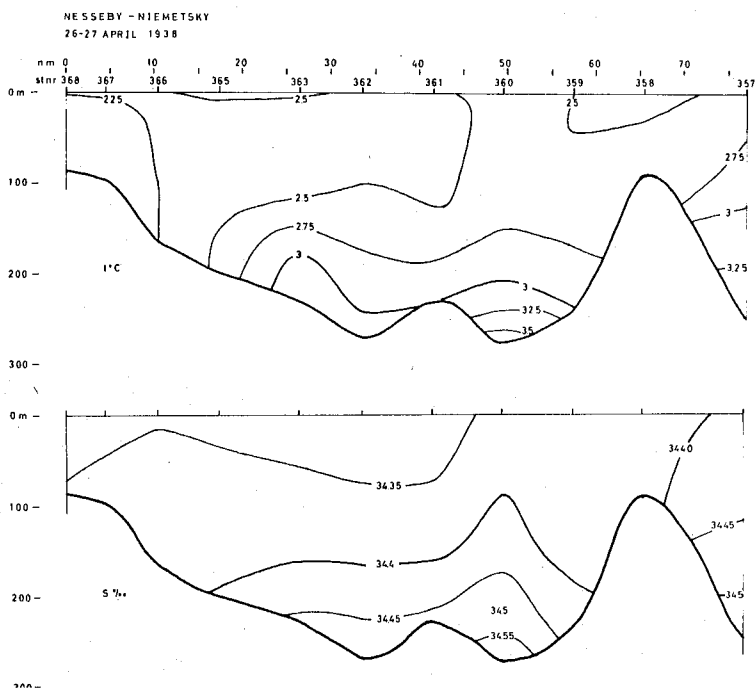
Figur 54. Hydrografiske snitt fra Tsyp Navolok mot nord, $t^{\circ}\text{C}$, $S\text{‰}$, σ_t , 1937.



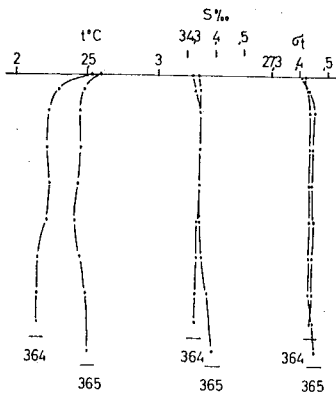
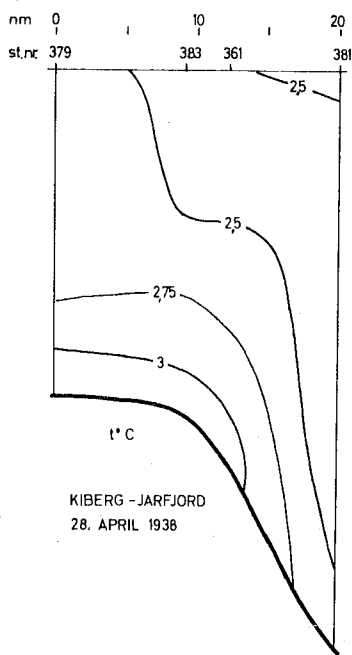
Figur 55. Hydrografiske snitt fra Vardø og østover, $t^{\circ}\text{C}$, $S\text{‰}$, σ_t , 1937.



Figur 56. Hydrografiske stasjoner 1938.

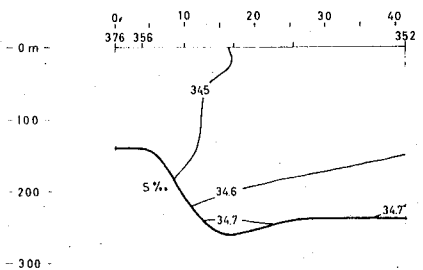
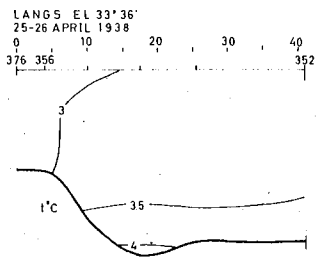
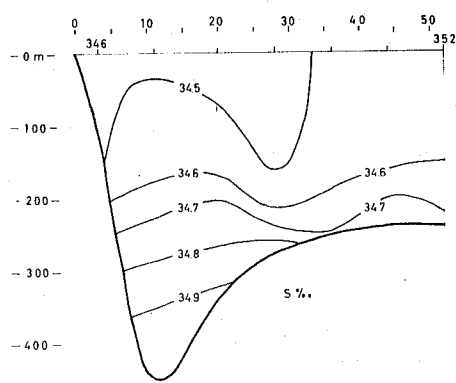
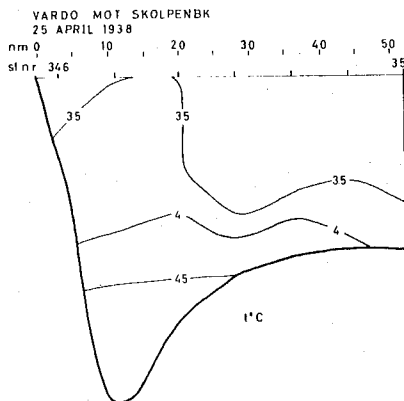


Figur 57. Hydrografisk snitt på langs av Varangerfjorden, t°C, S‰, 1938.

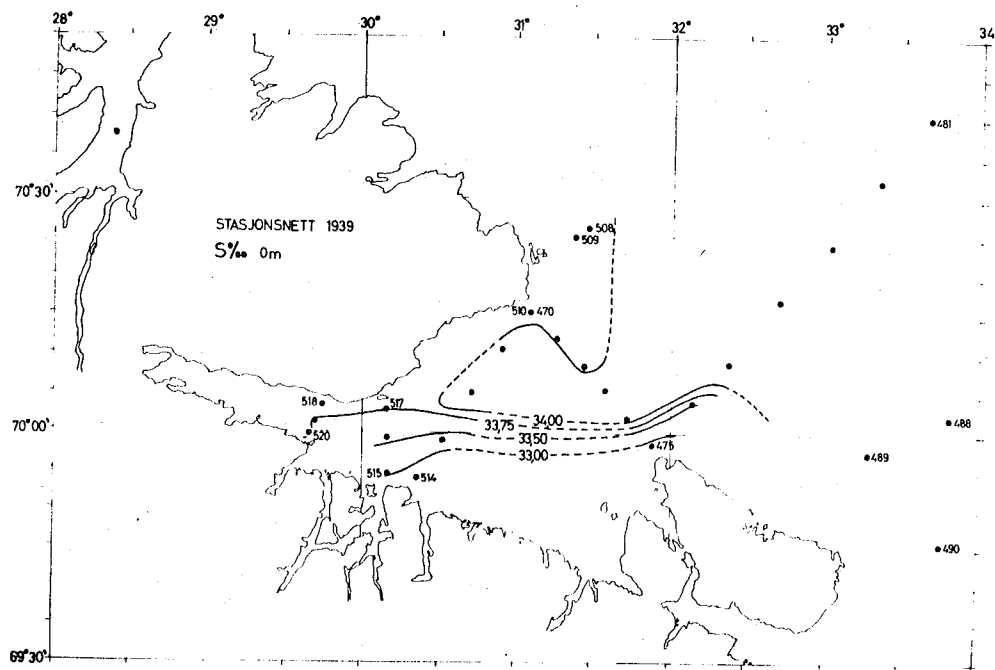


STASJONSKURVER ved VADSØ og SVINØY 1938

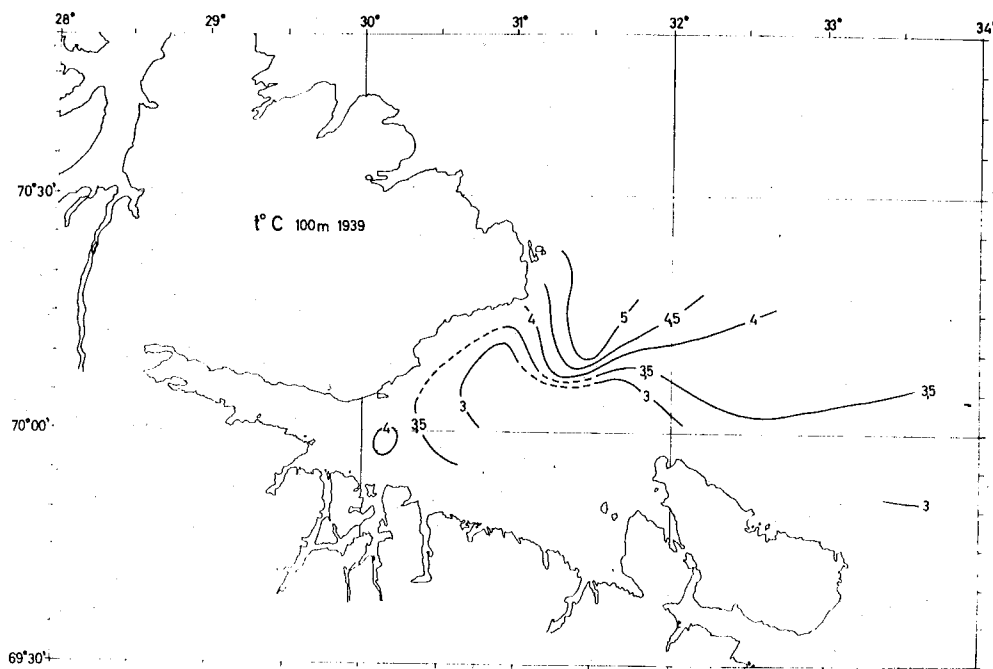
Figur 58. Temperatursnitt fra Kiberg mot Jarfjord og stasjonskurver for $t^{\circ}\text{C}$, $S\text{‰}$, σ_t ved Vadsø og Svinøy, 1938.



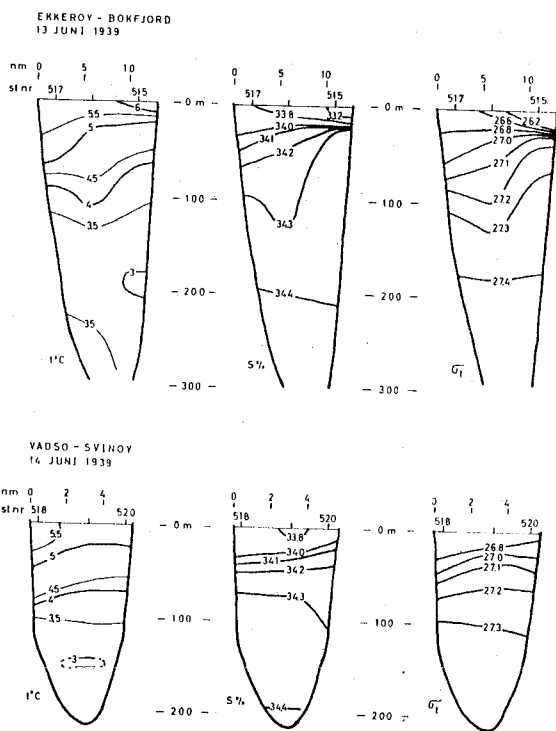
Figur 59. Hydrografiske snitt fra Vardø mot Skolpenbanken og nordover langs $33^{\circ}36' \text{EL}$, $t^{\circ}\text{C}$, $S\text{‰}$, 1938.



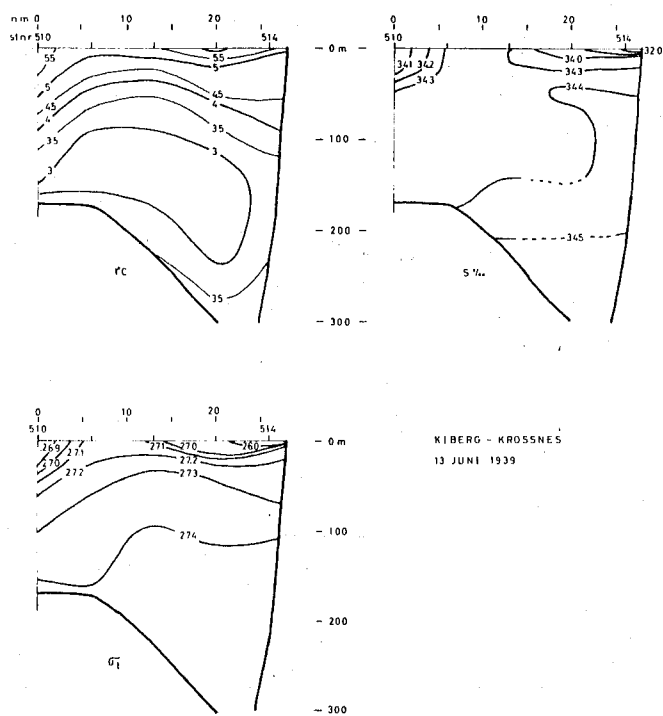
Figur 60. Hydrografiske stasjoner, fordelingen av saltholdighet i overflaten 1939.



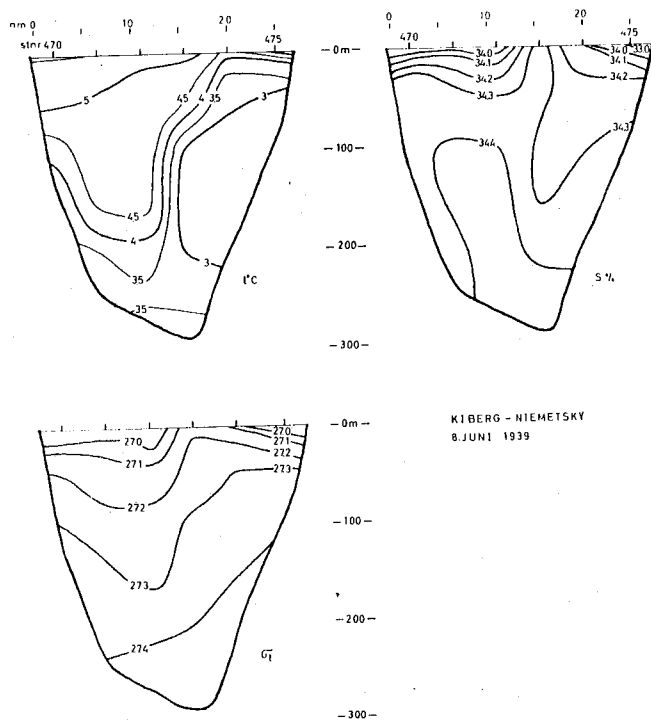
Figur 61. Temperaturfordelingen i 100 m, 1939.



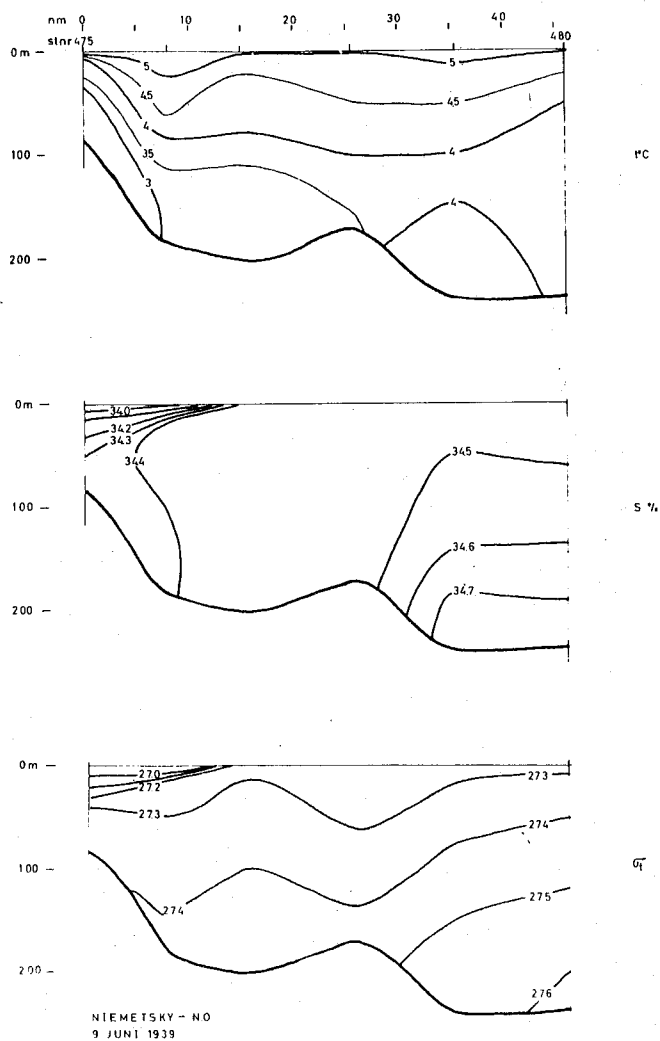
Figur 62. Hydrografiske snitt fra Ekkerøy til Bøkfjord
og fra Vadsø til Svinøy, $t^{\circ}\text{C}$, $S\text{‰}$, σ_t , 1939.



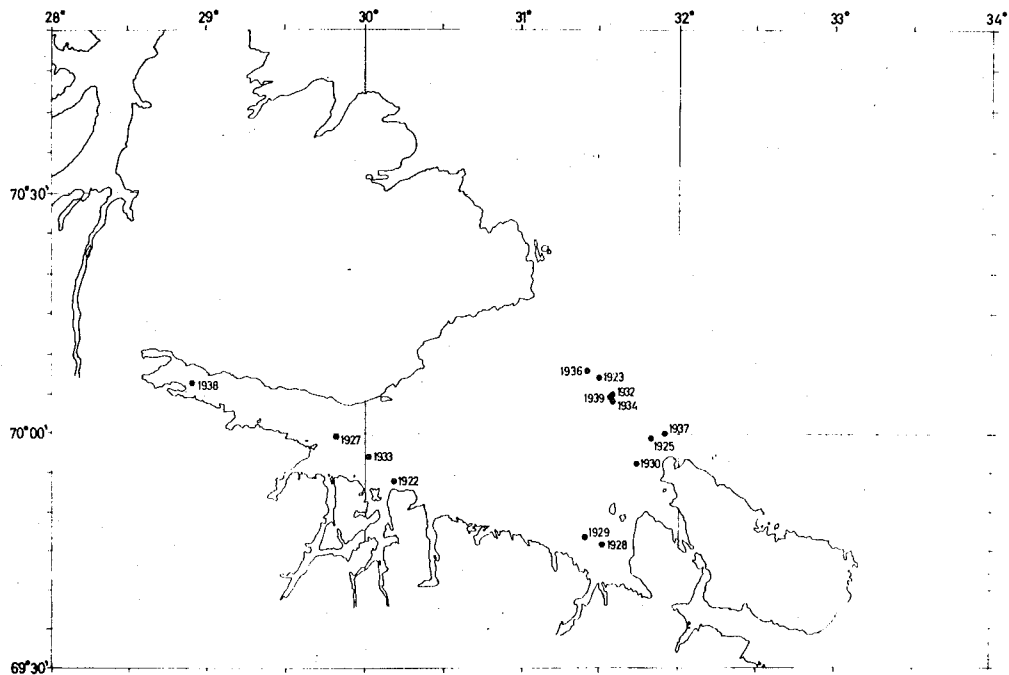
Figur 63. Hydrografisk snitt fra Kiberg til Krossnes
(mellem Jarfjord og Bøkfjord), $t^{\circ}\text{C}$, $S\text{‰}$, σ_t ,
1939.



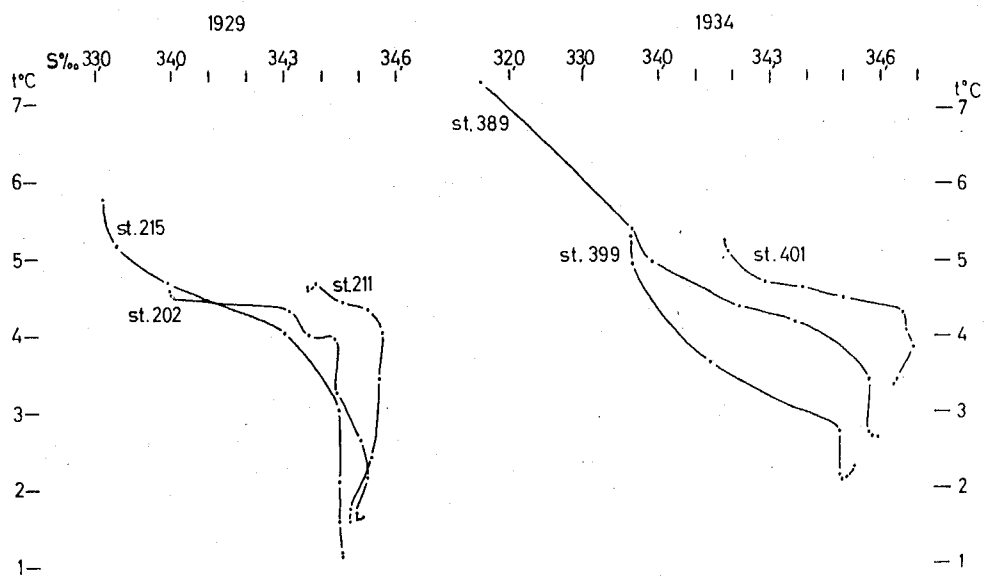
Figur 64. Hydrografisk snitt fra Kiberg til Niemetsky, $t^{\circ}\text{C}$, $S\text{‰}$, σ_t , 1939.



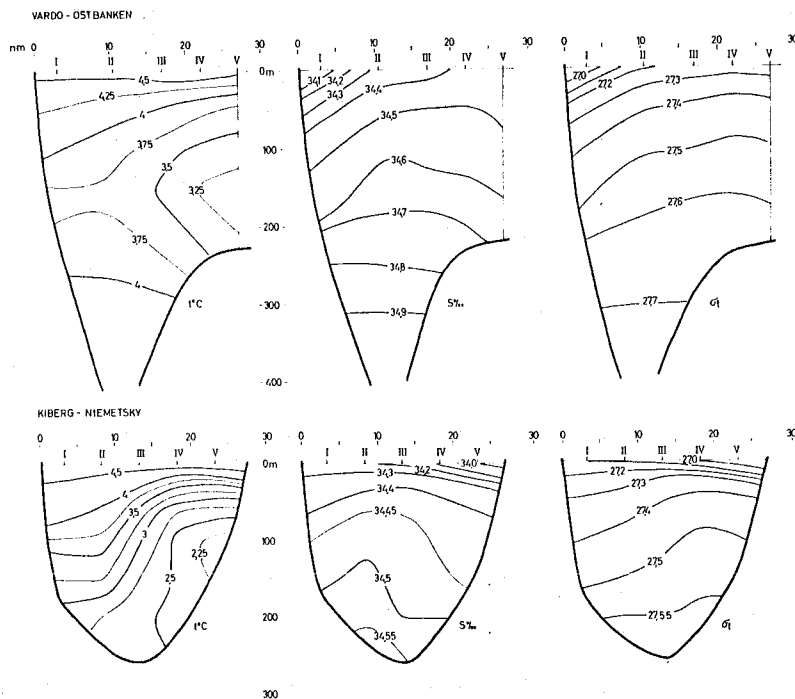
Figur 65. Hydrografisk snitt fra Niemetsky mot nordøst, $t^{\circ}\text{C}$, $S\text{‰}$, σ_t , 1939.



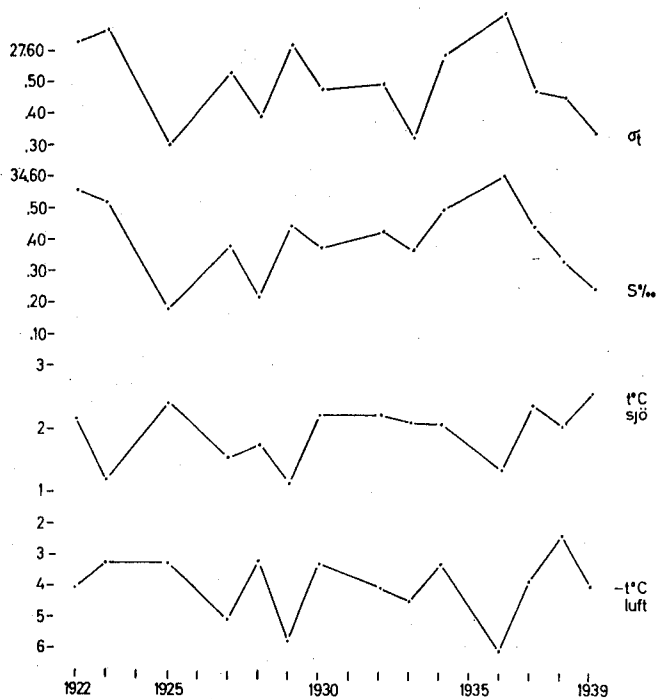
Figur 66. Kart som viser stasjonene hvor laveste temperatur er observert de enkelte år.



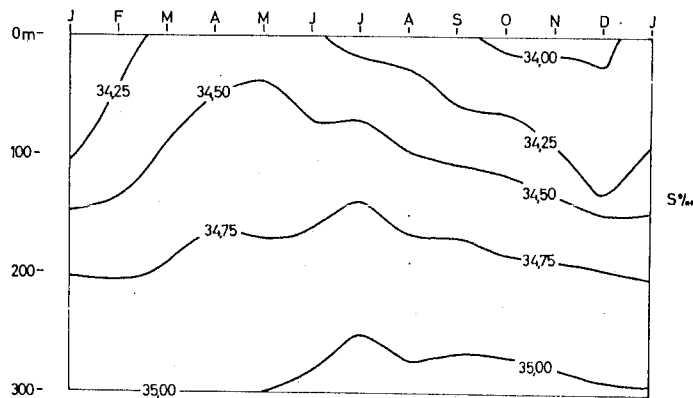
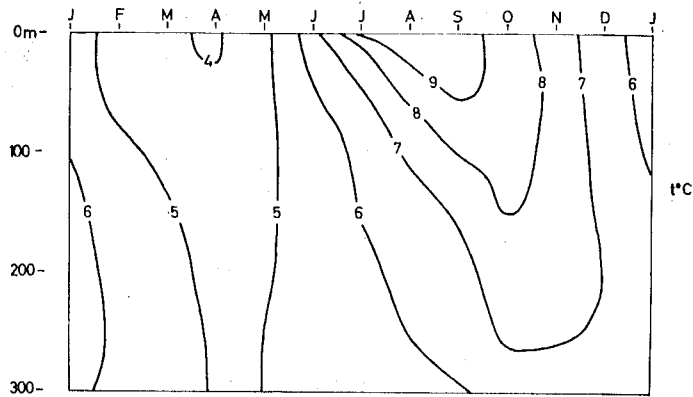
Figur 67. t-S kurver fra noen stasjoner i Varangerfjorden for 1929 og 1934.



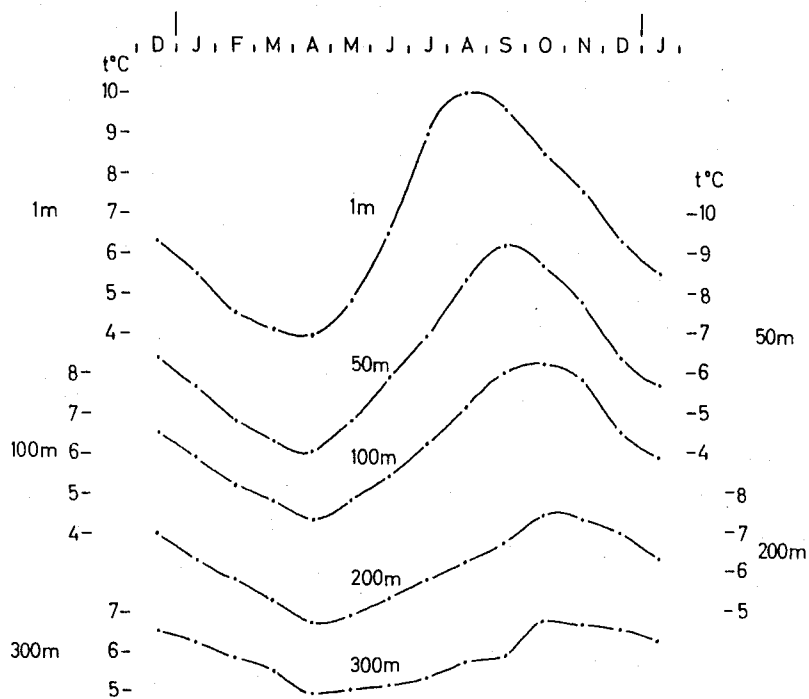
Figur 68. Hydrografiske snitt fra Vardø til Østbanken og fra Kiberg til Niemetsky, $t^{\circ}\text{C}$, $S\text{‰}$, σ_t . Snittene er tegnet på grunnlag av middelerdiene i tabell 10.



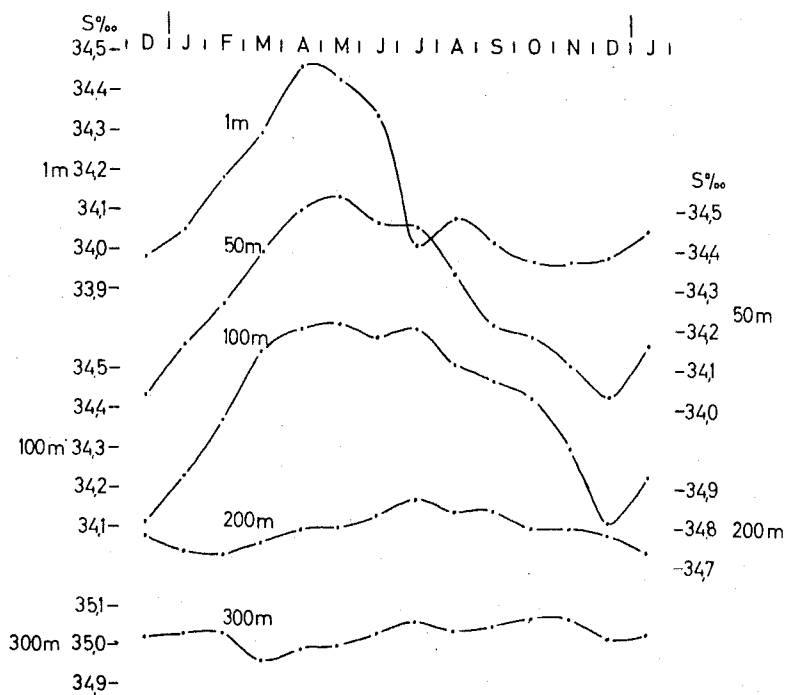
Figur 69. Laveste observerte temperatur, tilhørende saltholdighet og σ_t (tab. 9) de enkelte år, sammenlignet med vintertemperaturen i Vardø (tab. 8).



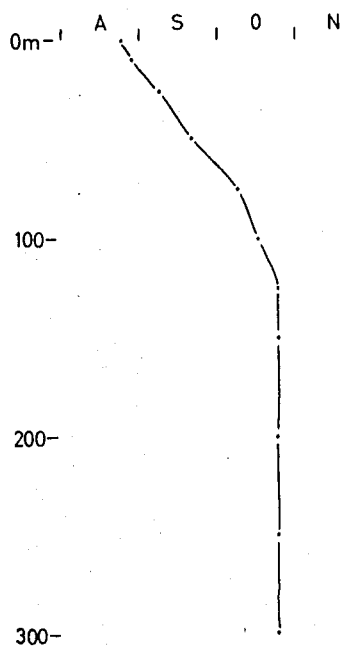
Figur 70. Isopletdiagrammer som viser årsvariasjonen av temperatur og saltholdighet ved Ingøy (tab. 13).



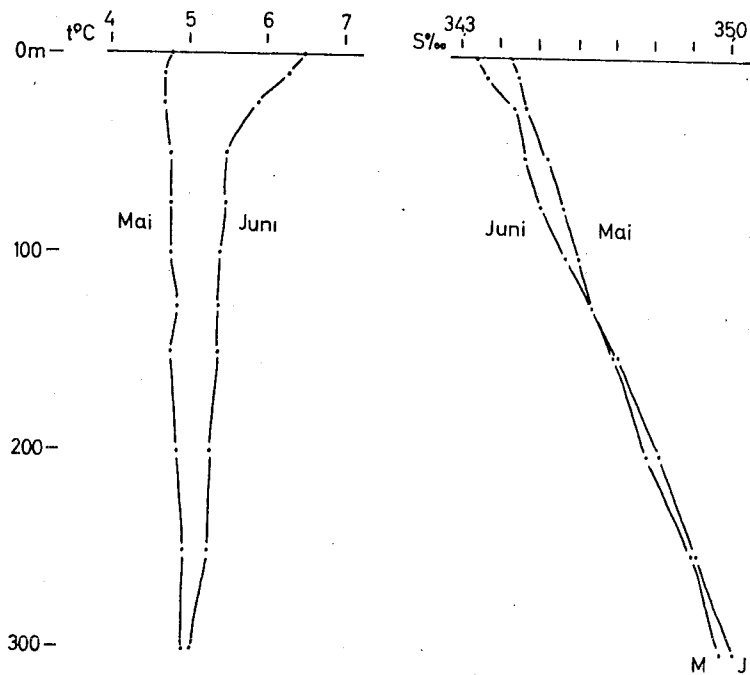
Figur 71. Årsvariasjonen av temperatur i forskjellige dyp ved Ingøy.



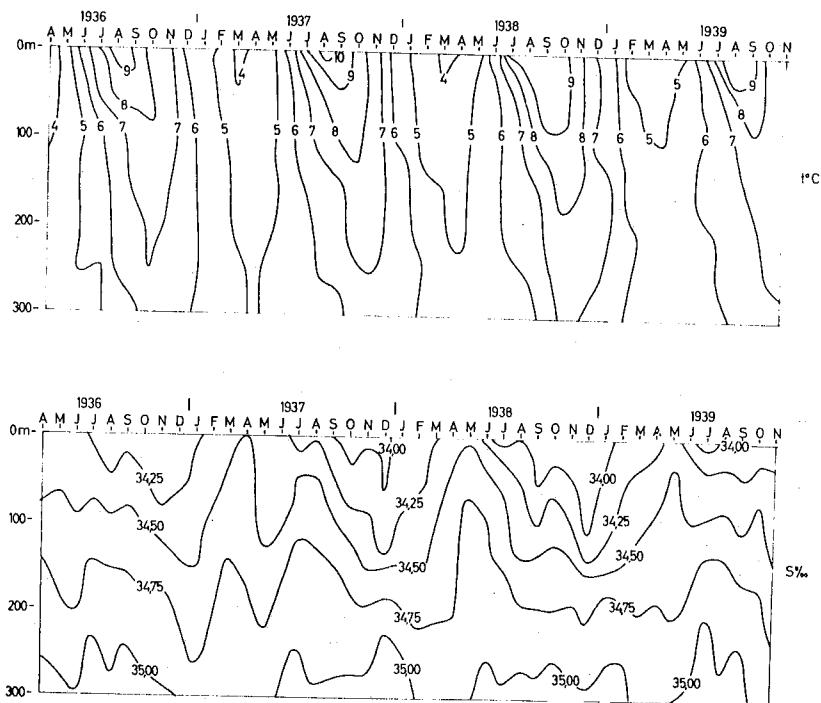
Figur 72. Årsvariasjonen av saltholdighet i forskjellige dyp ved Ingøy.



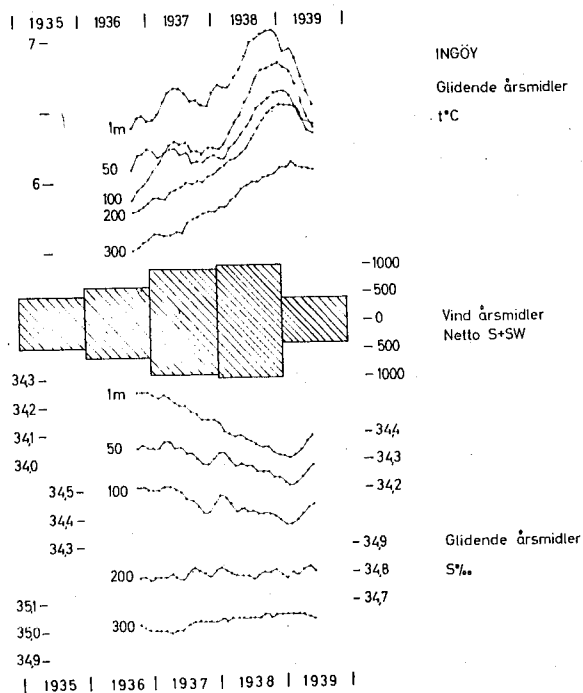
Figur 73. Tidspunktet da temperaturen har sitt maksimum i de forskjellige dyp ved Ingøy.



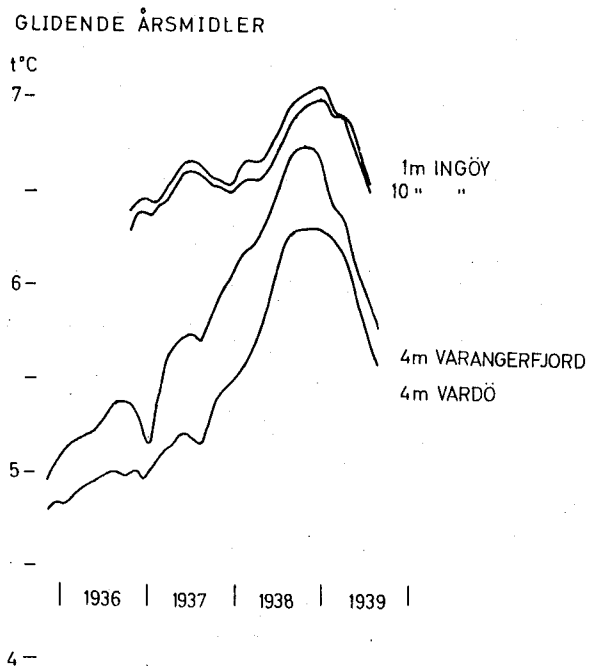
Figur 74. Vertikal temperatur- og saltholdighetsfordeling i mai og juni ved Ingøy (tab. 13).



Figur 75. Isoplethdiagrammer som viser variasjonen av temperatur og saltholdighet fra april 1936 til november 1939 ved Ingøy (tab. 12).



Figur 76. Glidende årsmidler for temperatur (tab. 14) og saltholdighet (tab. 15) sammenlignet med årsmidlene av vindmengde fra sør og sørvest (tab. 16) ved Ingøy.



Figur 77. Glidende årsmidler for temperatur i 1 m og 10 m ved Ingøy (tab. 14), sammenlignet med tilsvarende verdier fra 4 m ved Vardø og i Varangerfjorden (tab. 6).